

OPTIQUE



BORDEAUX 2016

COLOQ HORIZONS JNOG JRIOA CLUBS PAMO JSM (SFP)

PROGRAMME

Programme général

Lundi 4 juillet 2016

OPTIQUE



BORDEAUX 2016

COLOQ HORIZONS JNOG JRIOA CLUBS PAMO-JSM (SFP)

**Grand
Amphi**

14:00
Cérémonie d'ouverture
Session Plénière 1
15:30

Pause-café et exposition industrielle

Amphi A/C	Amphi B	Amphi D	Amphi E
16:00 PAMO/JSM Session 1 MC1/MC2 18:30	16:00 COLOQ Session 1 18:30	16:00 JNOG Session 1 18:30	16:00 Horizons Session 1 18:30
18:30 Réception d'accueil Remise des prix SFO (Arnulf-Françon, Fabry-de-Gramont Léon Brillouin) et du prix SFP (Aimé Cotton) à l'Institut d'Optique d'Aquitaine			

Mardi 5 juillet 2016

Grand Amphi	Amphi A	Amphi B	Amphi D	Amphi E
	08:45 PAMO/JSM Session 2 10:15	08:45 COLOQ Session 2 10:30	08:45 JNOG Session 2 10:30	09:00 Horizons Session 2 10:30
Pause-café et exposition industrielle				
11:00 Session poster / Exposition Espace Ingénieur 12:30				
Déjeuner-Restaurant Universitaire				
14:00 Rencontres Pédagogiques 15:30			14:00 Session Industrielle 15:30	
Pause-café et exposition industrielle				
Grand Amphi			16:00 Session Plénière 2 17:30	
			17:30 Assemblée générale SFO 18:30	
			18:30 Session étudiante: QUIZ 20:00	
Amphi D				

Mercredi 6 juillet 2016

Amphi A/H	Amphi B	Amphi C	Amphi D	Amphi E	Amphi F	Amphi G
08:45 PAMO/JSM Session 3 MC3/MC4 10:30	08:45 COLOQ Session 3 10:30	08:45 JRIOA Session 1 10:30	08:45 JNOG Session 3 10:30	09:00 Horizons Session 3 10:30	08:45 Nanopho Session 1 10:15	09:15 JNPO Session 1 10:15
Pause-café et exposition industrielle						
11:00 PAMO/JSM Session 4 MC5/MC6 12:30	11:00 COLOQ Session 4 12:45	11:00 JRIOA Session 2 12:15	11:00 JNOG Session 4 13:00	11:00 Horizons Session 4 12:30	11:00 Nanopho Session 2 13:00	11:00 JNPO Session 2 12:00
Déjeuner - Restaurant Universitaire						
14:00 Session poster / Exposition Espace Ingénieur 15:30						
Pause-café et exposition industrielle						
16:00 Session Plénière 3 18:30						
19:30 Dîner de Gala Remise des Photons de la Vitrine de l'innovation						
Grand Amphi						
Place de la Bourse						

Jeudi 7 juillet 2016

Grand Amphi	Amphi A	Amphi B	Amphi D	Amphi E
08:45 PAMO/JSM COLOQ 10:30	08:45 JRIOA <i>Session 3</i> 10:30	09:15 JNPO <i>Session 3</i> 10:30	09:00 JNOG <i>Session 5</i> 10:30	08:45 Horizons <i>Session 5</i> 10:30
Pause-café et exposition industrielle				
11:00 COLOQ PAMO/JSM 12:30	11:00 JRIOA <i>Session 4</i> 12:45	11:00 JNPO <i>Session 4</i> 12:00	11:00 JNOG <i>Session 6</i> 12:45	11:00 Horizons <i>Session 6</i> 12:30
Déjeuner - Restaurant Universitaire				
Grand Amphi		14:00 Session Plénière 4		
		Clôture du congrès 16:30		

OPTIQUE Bordeaux 2016

Sous l'égide de la Société Française d'Optique, les acteurs de la photonique Bordelaise sont heureux de vous accueillir lors du congrès national **OPTIQUE Bordeaux 2016**.

Toutes les communautés de l'optique Française se regroupent dans une unité de temps et de lieu à Talence du 4 au 7 juillet 2016. La Manifestation comprend les congrès :

COLOQ, Colloque sur les Lasers et l'Optique Quantique

HORIZONS, Horizons de l'Optique

JNOG, les Journées Nationales de l'Optique Guidée

JRIOA, Journées Recherche Industrie de l'Optique Adaptative

JNPO, Journées Nationales du Club Photonique Organique

le club **NANOPHOTONIQUE** de la SFO

Cette année pour la première fois, le congrès aura comme invité spécial la Société Française de Physique avec la participation du colloque **PAMO-JSM**, Colloque commun de la division PAMO "Physique Atomique, Moléculaire et Optique" et des JSM "Journées de Spectroscopie Moléculaire".

Cette manifestation fédère la communauté à travers une douzaine de conférences plénières d'intérêt général, de nombreux orateurs invités et des sessions posters propices aux discussions. La conférence organisée sur un seul site, celui de l'INP à Talence, accueille en outre

- **l'exposition industrielle et la session industrielle** (semi-plénière) qui offre une visibilité nationale du tissu local de PME en optique
- **les stands pédagogiques et la session pédagogique** (semi-plénière), illustrant entre autre les efforts de l'Université de Bordeaux pour l'enseignement de l'optique et les stands associés où vous aurez l'occasion de rencontrer des collègues

et pour la première fois

- **la session étudiante** organisée par le student-chapter de Bordeaux avec un Quiz accueillant.

Le prix Léon Brillouin sera remis en séance plénière. Les Prix Arnulf-Françon, Fabry-de Gramont et le prix SFP Aimé-Cotton seront remis lors de la cérémonie d'accueil et les photons de la Vitrine de l'innovation lors du banquet.

Toute la communauté optique Aquitaine, ses laboratoires universitaires, mais aussi ses PME, ses grands groupes industriels (Thales, Dassault Avionique...), le CEA seront ravis de vous recevoir et de vous rencontrer.

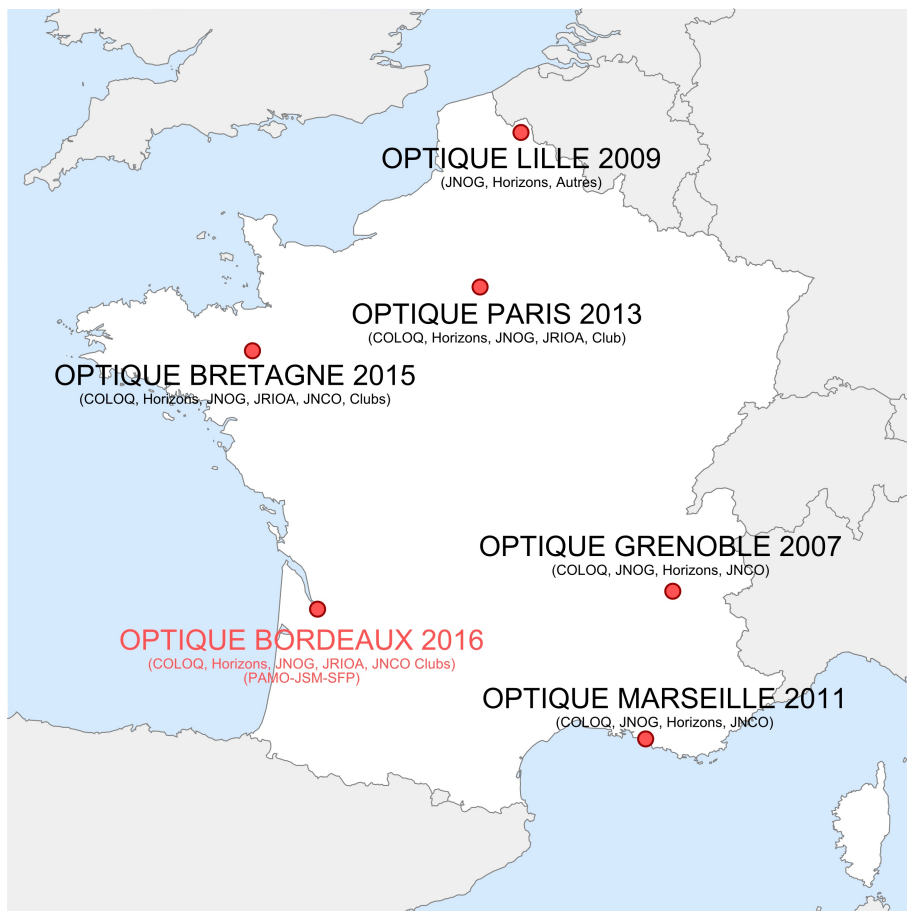
Philippe Lalanne et Lionel Canioni

Handwritten signature of Philippe Lalanne in black ink, featuring a stylized 'P' and 'L'.Handwritten signature of Lionel Canioni in blue ink, featuring a stylized 'L' and 'C'.

Table des matières

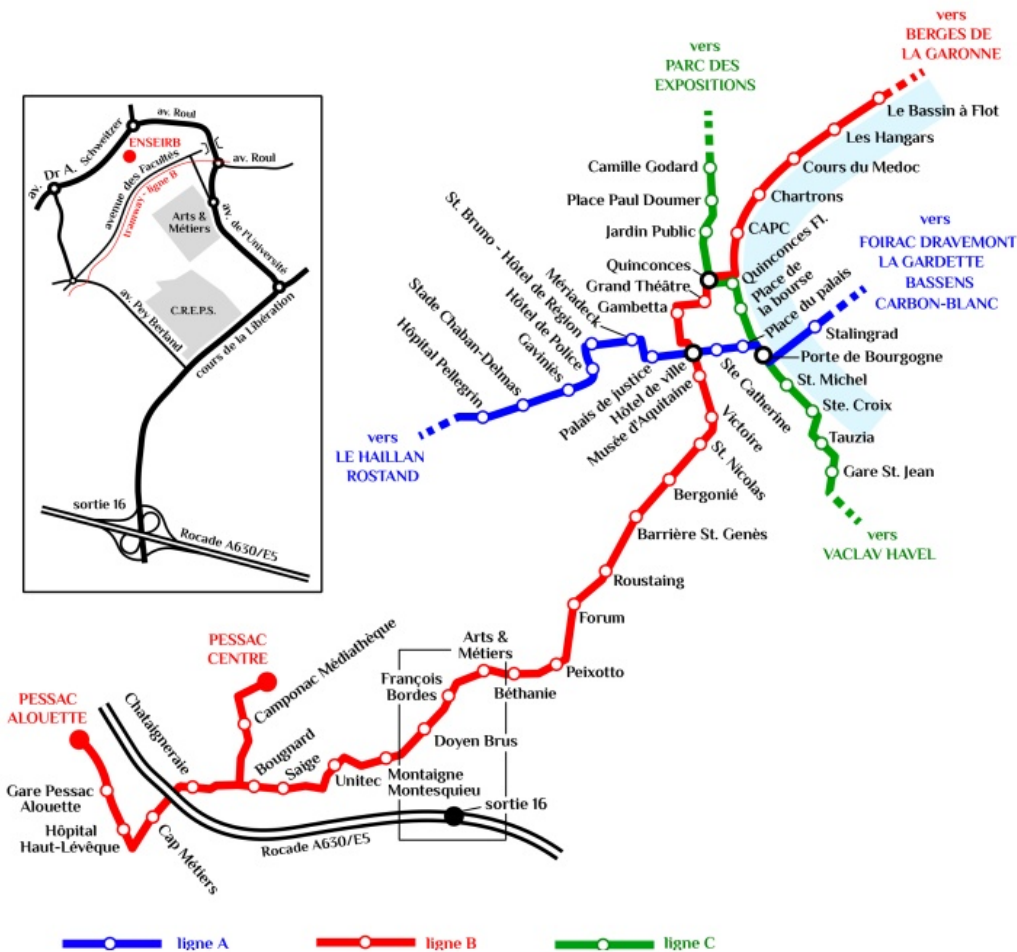
Programme général.....	2
OPTIQUE Bordeaux 2016.....	6
Historique du congrès.....	9
Plans.....	10
Tramway.....	10
Campus de Talence.....	11
Résidence Universitaire.....	12
INP-ENSEIRB-les amphis.....	13
Informations pratiques.....	16
Accès internet.....	16
Restauration.....	16
Réception.....	16
Tramways.....	16
Ville de Bordeaux.....	16
Dîner de Gala.....	17
Sessions Plénières.....	20
Sessions orales.....	22
Stands pédagogiques.....	36
Sessions posters.....	37
Liste des exposants industriels.....	56
Comité scientifique commun.....	57
Comité d'organisation local.....	57
SFO.....	57
Soutiens.....	58
Sponsors Nationaux.....	58
Sponsors Industriels.....	58
Sponsors Laboratoires.....	58
Sponsors Locaux.....	58
Sponsors Académiques.....	58
Notes.....	59

Historique du congrès



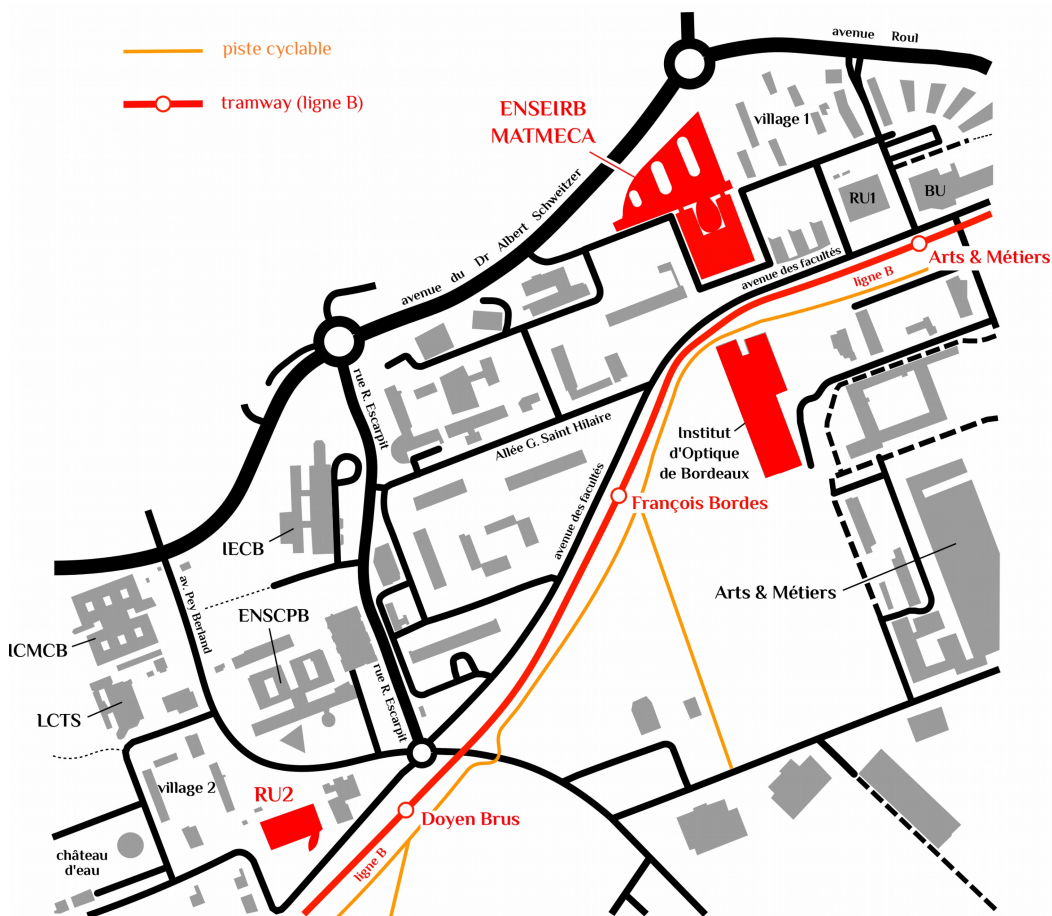
Plans

Tramway



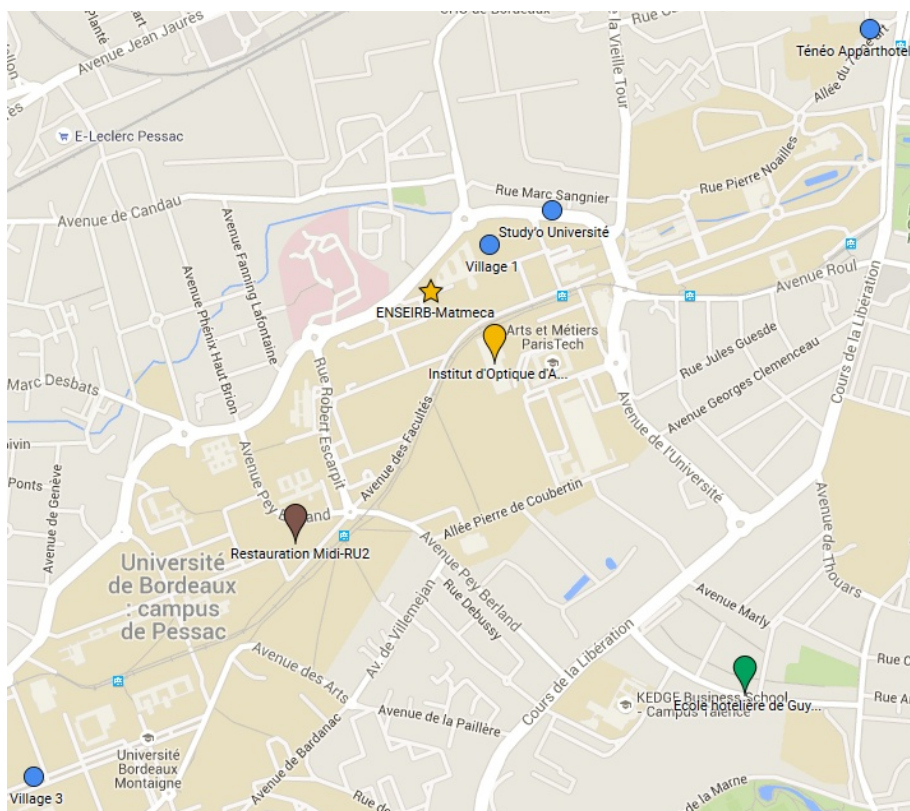
Plan Général - Accès au site de l'ENSEIRB

Campus de Talence



Pour venir de la gare Saint-Jean SNCF, prendre un bus jusqu'à la place de la Victoire, puis le TRAM B, direction Pessac. Descendre à l'arrêt Arts et Métiers.

Résidence Universitaire



Distances et comment se rendre des résidences à ENSEIRB-Matmeca-INO pour :

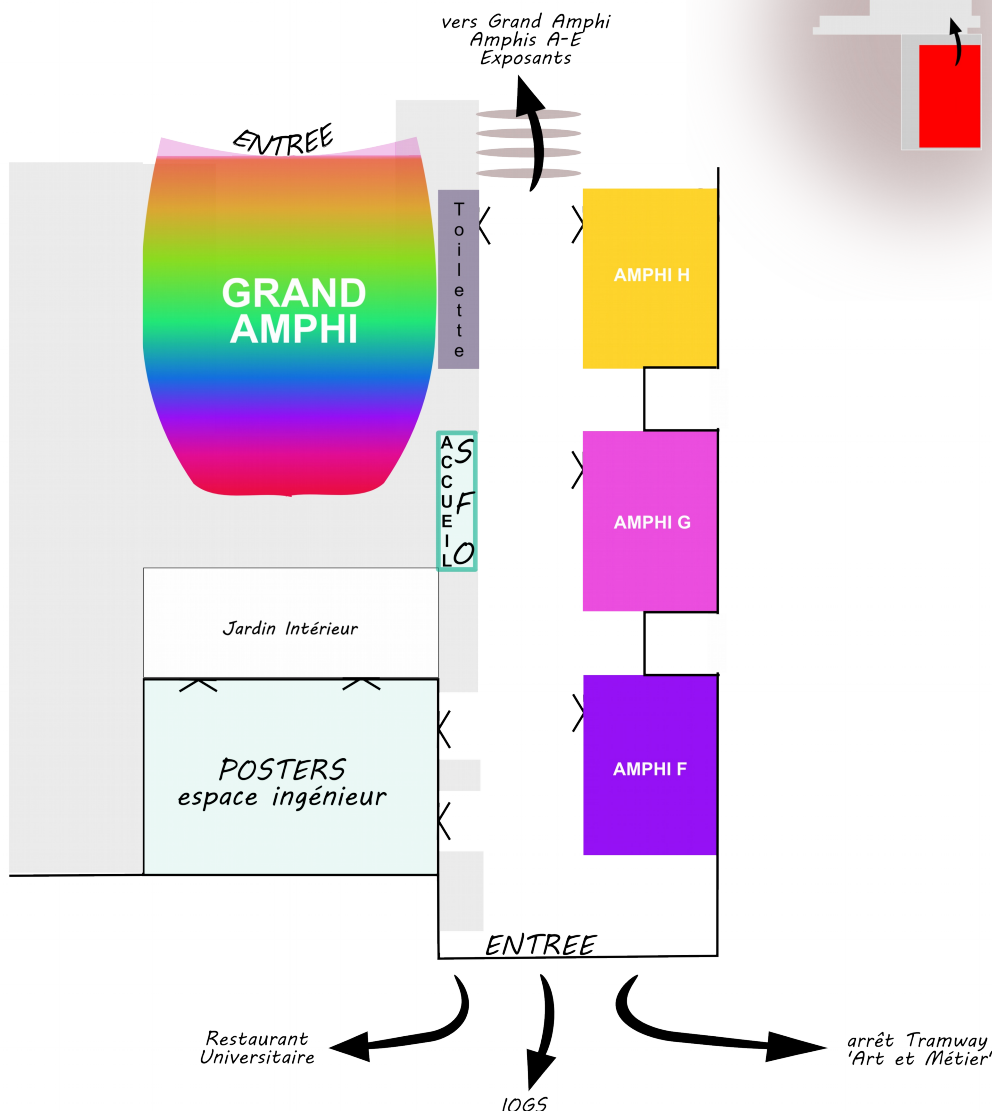
-Ecole hôtelière de Guyenne : 2 km à pied (~26 min)/OU bus 08 au Lycée Hôtelier (à~ 3 min à pied) et sortir 4 arrêts plus loin aux 'Arts et Métier'. Attention passage du bus toutes les 15 minutes seulement (<http://www.infotbc.com>)

-Chambres CROUS V3 (9 Espl. des Antilles, 33600 Pessac): 2.6 km à pied (~30 min) /OU Marcher (~2 min) jusqu'à l'arrêt de Tramway 'Unitec', prendre le Tram direction st Nicolas, s'arrêter 4 arrêts plus loin aux 'arts et Metier'. Total =12 minutes.

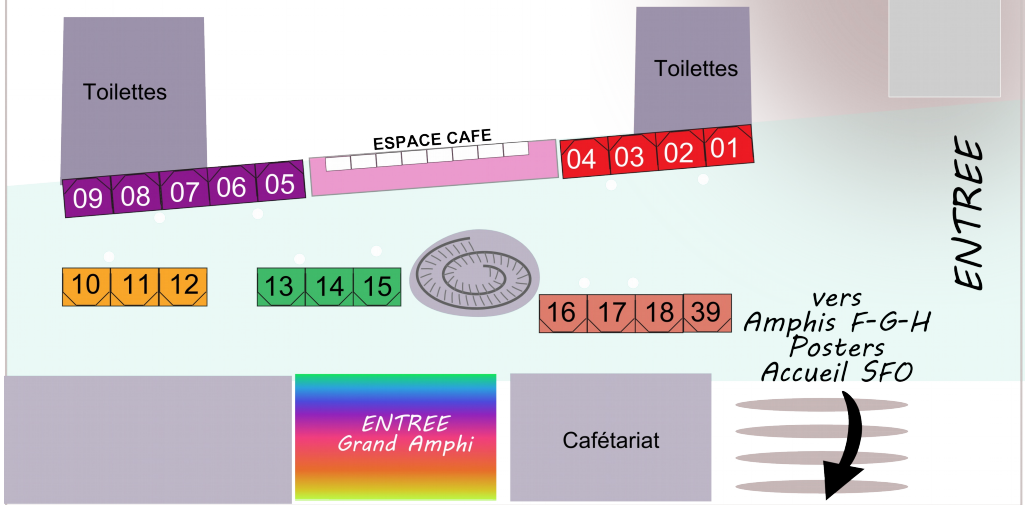
-Chambres CROUS V1 (Avenue de Collegno, 33400 Talence) et Studyo' résidence:(28 rue Marc Sangnier - Talence) à 5 minutes à pied du lieu de conférence.

INP-ENSEIRB-les amphis

Nouveau Bâtiment Rez de Chaussée

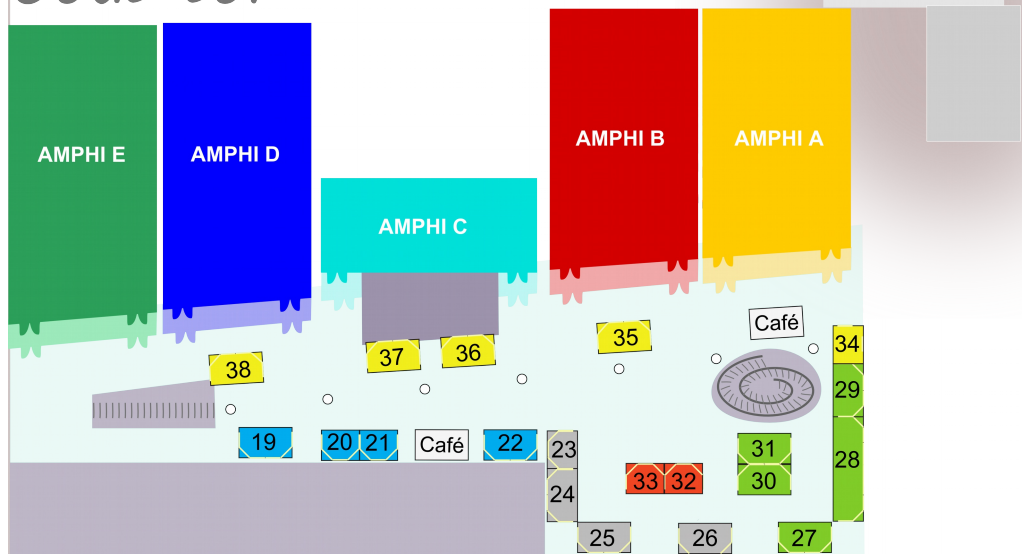


Ancien Bâtiment Rez de Chaussée



01 OPTOPRIM	02 OXXIUS
03 MICRO CONTROL SPECTRA PHYSICS	04 HAMAMATSU PHOTONICS FRANCE
05 COHERENT	06 AKA OPTICS
07 BNC FRANCE	08 ROUTE DES LASERS
09 NOVAE	10 PHOTON LINES
11 LEUKOS	12 R&D VISION
13 NKT PHOTONICS	14 IXBLUE
15 OPHIR SPIRICON EUROPE GMBH	16 WAVETEL
17 LASER COMPONENTS	18 NETHIS
39 PI FRANCE	

Ancien Bâtiment Sous sol



19 TRIOPTICS	20 LASER 2000
21 OPTON LASER INTERNATIONAL	22 IMAGINE OPTICS
23 PICS4ALL	24 THORLABS
25 2B LIGHTING TECHNOLOGIES	26 YENISTA
27 MALLETTE PEDAGOGIQUE POUR L'HOLOGRAPHIE	28 ENSEMBLE POLYVALENT D'EXPERIENCES OPTIQUES DE DEMONSTRATION
29 HOBIT : HYBRID OPTICAL BENCHES FOR INNOVATIVE TEACHING	30 LA TOMOGRAPHIE PAR COHERENCE OPTIQUE : UN PROJET EXPERIMENTAL
31 VP2L : UN « SERIOUS GAME » EN REALITE VIRTUELLE 3D APPLIQUE A LA FORMATION AUX TECHNOLOGIES OPTIQUE ET LASER	32 EDP SCIENCES - PHOTONIQUES
33 VITRINE DE L'INNOVATION	34 LAPHIA / UNIVERSITE DE BORDEAUX
35 KEOPSYS	36 ACAL BFI FRANCE
37 ALPHANOV	38 ZURICH INSTRUMENTS

Informations pratiques

Accès internet

Les personnes ayant un poste configuré pour accéder à **Eduroam** ou **Eduspot** pourront se connecter simplement via ce réseau. Sinon vous trouverez dans votre sacoche de documents un compte de connection personnalisé. Les comptes peuvent être utilisés aussi bien sur le wifi **REAUMUR** que sur le wifi **Bordeaux-INP** : selon les périphériques, la configuration sur l'un ou l'autre des wifi est plus aisée. Procédure REAUMUR : pour se connecter, choisir le réseau wifi REAUMUR, ouvrir son navigateur, on est automatiquement redirigé vers une page de portail captif : se connecter puis choisir ".Conférences/Invités" et cliquer sur le bouton "Selection". Entrer l'identifiant et le mot de passe trouvés dans votre sacoche.

Informations supplémentaires:

<http://www.u-bordeaux.fr/Vie-des-campus/Services-numeriques/Wifi/REAUMUR>

Attention, autoriser les pop-ups sur votre navigateur (au moins pour le domaine u-bordeaux.fr)

Restauration

Les repas seront pris au restaurant universitaire n°2 : Avenue des Facultés, 33600 Pessac (Station de Tram : Doyen ou 10 minutes de marche). La présentation de votre badge est OBLIGATOIRE et sera contrôlé à chaque repas. **Pas de badge, pas de déjeuner.**

Réception

Une réception d'accueil aura lieu à l'Institut d'Optique d'Aquitaine le lundi soir à 18h30, en face de l'ENSEIRB. La remise des prix de la SFO (Arnulf-Françon et Fabry-de Gramont) et de la SFP (Aime-Cotton) aura lieu lors de cette réception.

Tramways

A partir du centre ville de Bordeaux, le site de l'ENSEIRB est accessible par le tramway B, Direction Pessac. Descendre à 'Arts & Métiers'. (<http://www.infotbc.com/>) Vous trouverez un ticket Pass de Tramway valable du 04-07/07/2016 dans votre pochette OPTIQUE2016.

Ville de Bordeaux

La ville de Bordeaux possède un centre-ville animé. De nombreux restaurants sont situés au centre ville historique (arrêt de Tramway 'Hotel de Ville' ou 'Grand Théâtre').

Dîner de Gala

Le dîner de Gala de la conférence se tiendra le mercredi 6 juillet à la place de la bourse, au cœur du centre historique de Bordeaux, face à la garonne et au miroir d'eau. Le déplacement du lieu de conférence au dîner de gala se fera individuellement en transport en commun. Lors de ce dîner, les trois photons de la Vitrine de l'innovation seront remis dans la salle "Espace Bourse" de ce même bâtiment



La place de la bourse est une des places les plus connues de Bordeaux avec sa fontaine des « Trois Grâces » représentant Aglaé, Euphrosyne et Thalie, les filles de Zeus. **L'entrée se fera sur la partie gauche du bâtiment en faisant face au miroir d'eau.**



Accès par tramway : Tramway C Direction : Cracovie / Parc des expositions <> Vaclav Havel
Arrêt : Place la Bourse. A partir du lieu de conférence, prendre le tramway B direction bordeaux centre et arrêt 'grand théâtre'.

Accès par bus : La station de bus la plus proche est celle des Quinconces. Depuis cet arrêt, prendre le tramway ligne C direction Vaclav Havel ou marcher à pied 3 min. Aux Quinconces s'arrêtent les lignes des bus suivantes :

- 1 provenant de Mérignac Aéroport,
 - 2 provenant d'Eysines Centre/Place Florale,
 - 3 provenant de Saint Médard en Jalles,
 - 26 provenant de Bègles Le Dorat,
 - 29 provenant de Blanquefort Ecoparc/ Eysines Lycée Charles Peguy,
 - 83 provenant de Saint Aubin Pinsoles/ Saint Médard Collège F. Mauriac
- Accès par voiture :

Depuis l'autoroute et la rocade :

- Prendre la sortie 4,
- Continuer sur la Boulevard Aliènor d'Aquitaine,
- Tournez à gauche rue Lucien Faure,
- Tournez à droite Quai Bacalan,
- Continuer tout droit sur le Quai du Maréchal Lyautey,
- Tournez à droite Place de la Bourse.

Coordonnées GPS :

N 44° 50' 30.9" - O -0° 34' 12.4"

Stationnement au Parking Bourse : 1621 places (Urbis Park). 2 place de la Bourse

Adresses d'entrée : Quai du Maréchal Lyautey et place Jean Jaurès

GPS : Long. -0.570016, Lat. 44.841012

PROGRAMME DÉTAILLÉ DES CONFÉRENCES

Sessions Plénières

Lundi 4 juillet 2016 - Session Plénière 1 – Cérémonie d'Ouverture

- 14:00** Mot de bienvenue pour le comité scientifique commun et le comité d'organisation local
P. Lalanne
- 14:05** Ouverture du congrès par le président de la SFO- *B. Boulanger*
Intervention de *M. Spiro*, président de la SFP
- 14:15** Mot introductif par le président de l'Université de Bordeaux
M. Tunon de Lara
- 14:25** Le cluster d'excellence de l'université de Bordeaux LAPHIA
L. Canioni
- 14:35** Le pôle de compétitivité « Route des lasers »
J.P. Giannini ou H. Floch
- 14:45** L'effet Hong Ou et Mandel: au cœur de la seconde révolution quantique
A. Aspect, Laboratoire Charles Fabry-Palaiseau

Mardi 5 juillet 2016 - Session Plénière 2

- 16:00** Quantum optics in photonic nanostructures using high-energy electrons
A. Polman, AMOLF-Amsterdam
- 16:40** Confinement moléculaire : une nouvelle voie pour la nanophotonique?
M. Blanchard-Desce, ISM-Talence
- 17:10** Sera annoncée
- 17:30** Assemblée Générale de la SFO
- 18:30** Session étudiante
Le quiz du 'Student Chapter', OSA

Mercredi 6 juillet 2016 - Session Plénière 3

- 16:00** Des miroirs hors norme à l'écoute de l'espace-temps
J. Degallaix, L. Balzarini, V. Dolique, R. Flaminio, D. Forest, M. Granata, B. Lagrange, L. Pinard, C. Michel, N. Straniero, J. Teillon et G. Cagnoli, Laboratoire des Matériaux Avancés-Villerbanne
- 16:30** Etude du trou noir super-massif au centre de la Galaxie avec l'instrument GRAVITY
G. Perrin, Observatoire de Paris
- 17:00** Arrêter la lumière dans une fibre: la rencontre des atomes froids et de la nanophotonique
J. Laurat, LKB-Paris
- 17:30** Art et Astronomie. Impressions célestes
Y. Nazé, Université de Liège

Jeudi 7 juillet 2016 - Session Plénière 4

- 14:00** Quantum optics with artificial atoms
P. Senellart, LPN-Marcoussis
- 14:35** Dynamiques paradoxales dans les lasers ultrarapides à fibres optiques
P. Grelu, Institut Carnot-Dijon
- 15:10** Génération d'harmoniques, molécules chirales et dynamiques ultrarapides
S. Beaulieu, A. Comby, R. G´eneaux, V. Blanchet, D. Descamps, A. Ferré, G. Garcia, Y. Mairesse, E. Mével, L. Nahon, S. Petit, B. Pons, T. Ruchon et B. Fabre, Celia -Talence
- 15:40** 2015, Année de la Lumière en France, un immense succès
C. Subran,
- 16:00** Clôture et Remerciements

Sessions orales

Lundi 4 juillet 2016

COLOQ – Lasers & Métrologie

Amphi B

- 16:00** Génération d'harmoniques d'ordres élevés dans les gaz par laser femtoseconde de haute énergie
L. Quintard, O. Hort, J. Nejd, C. Ballage, A. Dubrouil, F. Catoire, V. Strelkov, D. Descamps, E. Mével et E. Constant
- 16:45** Remote Sr-Sr optical clock comparison with an international fiber link
P.-E. Pottie, A. Al-Masoudi, A. Amy-Klein, S. Bilicki, E. Bookjans, E. Camisard, C. Chardonnet, N. Chiodo, P. Delva, H. Denker, S. D'orscher, C. Grebing, G. Grosche, S. Häfner, A. Koczwar, S. Koke, A. Kuhl, T. Legero, R. Le Targat, C. Lisdat, J. Lodewyck, O. Lopez, D. Nicolodi, N. Quintin, S. Raupach, J.-L. Robyr, C. Shi, H. Schnatz, F. Stefani et F. Wiotte
- 17:30** VECSEL Monofréquence et bifréquence pour le traitement du signal
G. Baili, A. Joly, M. Alouini, L. Morvan, J.-M. George, G. Lucas-Leclin, P. Dumont, I. Sagnes, F. Bretenaker et D. Dolfi.
- 18:00** Les lasers stabilisés
F. Bondu

Horizons – Optique et Biologie

Amphi E

- 16:00** Apport de l'optique-hyperfréquence à l'imagerie polarimétrique et à la physique de la polarisation
M. Alouini, J. Fade, F. Parnet, S. Panigrahi, N. Ortega-Quijano, H. Ramachadran, L. Pouget, C. Hamel, L. Frein, E. Schaub et A. Carré
- 16:30** Endoscopes multiphotoniques sans marquage
H. Rigneault
- 17:00** Imagerie sans lentille et approches inverses : la haute résolution à bas coût
N. Verrier, C. Fournier, F. Jolivet et T. Fournel
- 17:30** Les Nanotubes de Carbone comme Nouvelles Sondes de l'Organisation Nanoscopique de Cerveaux Vivants
N. Danné, A. Godin, J. Varela, Z. Gao, B. Lounis, L. Groc et L. Cognet
- 17:45** Caractérisation de la dégradation du collagène dans les parchemins par microscopie optique non-linéaire et nanospectroscopie infrarouge
G. Latour, L. Robinet, A. Dazzi, F. Portier, A. Deniset-Besseau et M.-C. Schanne-Klein
- 18:00** Wavefront Shaping for Structural Nonlinear Microscopy
H. De Aguiar, S. Gigan et S. Brasselet
- 18:15** Microscopie électro-optique
C. Lafargue, D.T. Trinh, B. Hajj et J. Zyss

JNOG – Effets Nonlinéaires en optique Guidée**Amphi D**

- 16:00** Réservoir computing opto-electronique : l'ordinateur du futur sera-t-il photonique et analogique?
S. Massar
- 16:30** Première observation de l'effet papillon dans un laser à cascade quantique émettant dans le moyen infra-rouge
L. Jümpertz, K. Schires, M. Sciamanna, M. Carras et F. Grillot
- 17:00** Emission d'ondes dispersives par un train de solitons noirs
T. Marest, C. Mas Arabi, M. Conforti, A. Mussot, C. Milian, D. Skryabin et A. Kudlinski
- 17:15** Laser à verrouillage de modes par rotation non-linéaire de la polarisation dans des fibres PM
S. Boivinet, J.-B. Lecourt, A. Gognau, Y. Hernandez, A. Fotiadi, M. Wuilpart et P. Mégret
- 17:30** Les fibres optiques entrent dans une nouvelle ère spatio-temporelle
K. Krupa, A. Tonello, R. Dupiol, A. Bendahmane, B. Shalaby, M. Fabert, A. Barthélémy, G. Millot, S. Wabnitz et V. Couder
- 17:45** Renforcement des interactions nonlinéaires par excitation cohérente d'une micro-cavité
S. Serna, M. Hanna, X. Le Roux, P. Delaye, E. Cassan et N. Dubreuil
- 18:00** Conception de Fibres Apériodiques Passives à Grande Aire Effective ne Propageant qu'une Polarisation du Mode Fondamental
R. Du Jeu, D. Darwich, R. Dauliat, A. Benoît, R. Jamier, K. Schuster et P. Roy
- 18:15** Observation de la diffusion Brillouin de surface dans une fibre optique à cristal photonique
J.C. Tchahame Nougnihi, J.-C. Beugnot, K. Phan Huy, V. Laude, A. Kudlinski et T. Sylvestre

**JSM/PAMO - Peignes de fréquence et spectroscopie de haute précision
apport et nouveaux défis métrologiques****Amphi A**

- 16:00** Des peignes de fréquence pour la spectroscopie moléculaire de précision
R. Santagata, B. Argence, D.B.A. Tran, M. Pierens, D. Nicolodi, M. Abgrall, S. Tokunaga, C. Chardonnet, P.-E. Pottie, O. Lopez, C. Daussy, Y. Le Coq, B. Darquié et A. Amy-Klein
- 16:30** Calibration absolue et transfert de cohérence: deux applications d'un peigne de fréquence
S. Kassi
- 16:50** Surpasser la résolution nominale d'un spectromètre à transformée de Fourier avec des peignes de fréquences
L. Rutkowski, A. Johansson, A. Khodabakhsh et A. Foltynowicz
- 17:10** Spectroscopie laser à haute résolution des raies de l'ozone par QCL non asservie: Estimations des déplacements de fréquence dans la bande par collision avec de l'air et des gaz nobles à faible pression
T. Zanon-Willette, M. Minissale, P. Jeseck, H. Elandaloussi, C. Rouillé, P. Marie Jeanne, Y. Te, C. Boursier et C. Janssen

- 17:30** Utilisation d'une chaîne à multiplication de fréquences THz: application à l'enregistrement d'un profil de raie moléculaire
M. Guinet et P. Soulard
- 17:50** Spectroscopie THz de molécules d'intérêt atmosphérique stables et instables utilisant une source de type photomélangé avec métrologie par peigne de fréquences
A. Cuisset, C. Bray, R. Bocquet, F. Hindle et G. Mouret

PAMO/JSM - Transport quantique dans les gaz d'atomes froids**Amphi C**

- 16:00** Expériences de transport mésoscopique avec des atomes froids
J.-P. Brantut
- 16:30** Bose-Einstein Condensates in Time-Dependent Optical Lattice
A. Fortun, C. Cabrera-Gutierrez, C. Condon, E. Michon, J. Billy et D. Guéry-Odelin
- 17:00** Probing superfluidity in a quasi two-dimensional Bose gas through its local dynamics
C. De Rossi, R. Dubessy, K. Merloti, M. De Goer, T. Badr, A. Perrin, L. Longchambon et H. Perrin
- 17:18** Tunnel coupled one-dimensional bosonic systems: Dissipative Josephson junctions
J. Polo, F. Hekking et A. Minguzzi
- 17:36** Velocity-Dependent Quantum Phase Slips In 1D Atomic Superfluid
S. Scaffidi Abbate, L. Tanzi, F. Cataldini, L. Gori, E. Lucioni, M. Inguscio, G. Modugno et C. D'Errico
- 17:54** Transport de quasiparticules et développement d'intrication dans les systèmes quantiques à N corps.
I. Frerot et T. Roscilde
- 18:12** Potentiels Arbitraires pour des Nuages d'Atomes Froids et Effets Collectifs dans les Interactions Lumière-Matière
L. Corman, T. Bienaimé, J.-L. Ville, R. Saint-Jalm, M. Aidelsburger, S. Nascimbène, J. Beugnon et J. Dalibard

Mardi 5 juillet 2016**COLOQ – Photonique & Spectroscopie Non-Linéaire (PHONON)****Amphi B**

- 08:45** Les fibres topographiques : un nouveau degré de liberté en optique non-linéaire
A. Kudlinski, M. Conforti, A. Bendhamane, F. Copie, F. Braud, S. Trillo et A. Mussot
- 09:30** Modelocking of Terahertz Quantum Cascade Lasers for Short Pulse Generation
F. Wang, K. Maussang, H. Nong, J. Mangeney, J. Tignon et S. Dhillon
- 10:00** Optique non-linéaire térahertz
J. Degert, M. Cornet, E. Abraham et E. Freysz

JNOG – Télécom et Photonique Si**Amphi D**

- 08:45** Nanolaser couplés à cristal photonique
A. Yacomotti
- 09:15** Modulateurs optiques pour la photonique sur silicium
A. Abraham, S. Olivier, M. Fournier, A. Myko, L. Vivien et D. Marris-Morini
- 09:30** Génération sur puce de silicium de paires de photons multiplexés en longueur d'onde
F. Mazeas, W. Zhang, M. Traetta, M. Bentivegna, F. Kaiser, D. Aktas, C.A. Ramos, L.A. Ngah, T. Lunghi, X. Le Roux, D. Marris-Morini, L. Vivien, E. Cassan, L. Labonté et S. Tanzilli
- 09:45** Une approche entièrement guidée pour l'optique quantique en régime de variables continues.
B. Fedrici, F. Kaiser, A. Zavatta, V. D'auria et S. Tanzilli
- 10:00** Influence des propriétés fréquentielles de différents lasers DML sur les performances d'une émission duo-binaire à 20Gbit/s
J. Konopacki, B. Le Guyader, N. Genay, L. Anet Neto, P. Chanclou et D. Erasme
- 10:15** Démonstrateur WDM Très Haut Débit sur Silicium Constitué d'Anneaux Résonants
J.B. Quéléne

PAMO/JSM - Transport quantique dans les gaz d'atomes froids**Amphi A**

- 08:45** Structuration des matériaux par faisceaux femtosecondes 'non-diffractants' et 'accélérateurs' : filamentation et interaction laser-plasma
F. Courvoisier, R. Giust, L. Froehly, M. Jacquot, P.-A. Lacourt, L. Furfaro et J. Dudley
- 09:15** Ion Interaction with Molecular Systems: Application for Astrochemistry
A. Domaracka
- 09:45** Les peignes de fréquences par et pour le THz
S. Tammaro, O. Piralì, P. Roy, J.-F. Lampin, G. Ducournau, A. Cuisset, F. Hindle, R. Bocquet et G. Mouret

Horizons – Optique et Électrons**Amphi E**

- 09:00** Photoémission non linéaire, un outil pour la plasmonique
L. Douillard
- 09:30** Quand les électrons chauds pimentent la plasmonique
B. Palpant, T. Labouret, X. Wang, J.-F. Audibert, R. Pansu, N. Djellali, R. Moreira et J. Gonzalo
- 10:00** Une nanosource de photons et de plasmons
E. Boer-Duchemin

Session Industrielle**Amphi D**

- 14:00** Photonique mondiale, stratégie et perspectives
C. Subran
- 14:15** CNOP - Photonique française, actions et perspectives
P. Bréji
- 14:30** ALPhANOV - Création d'entreprises autour des lasers à fibres: enjeu de l'intégration
B. Appert-Collin
- 14:45** POIETIS, La start-up à l'interface photonique - bioimpression tissulaire
B. Viellerobe
- 15:00** Accélérateurs innovants de particules et de rayonnement par laser ultra-intense
F. Sylla
- 15:15** Présentations flash de 5 minutes

Rencontres Pédagogiques**Grand Amphi**

- 14:00** Quelques opticiennes (pas assez) célèbres
C. Champenois
- 14:20** Le MOOC 'Physique des objets de quotidien'
U. Delabre
- 14:35** Une approche expérimentale de l'optique en licence
G. Latour, M. Godard et V. Guillet
- 14:45** Le plateau pédagogique laser de l'Université de Bordeaux au service de la formation initiale et continue
I. Manek-Hönninger
- 15:00** Mallette pédagogique pour l'holographie : comment faire des expériences pour l'enseignement supérieur en s'affranchissant simplement des vibrations parasites
A. Escarguel et R. Baude

Mercredi 6 juillet 2016**COLOQ – Systèmes hybrides pour l'interaction lumière/matière (SHYLM)**
Amphi B

- 08:45** Single molecules Optical Nanoscopy
B. Lounis
- 09:30** Chauffage optique de nanoparticules d'or et applications en physique, chimie et biologie
G. Baffou
- 10:00** Nano-optomécanique : des liquides aux phénomènes collectifs
E. Gil-Santos, B. Guha, P. Allain, W. Hease, C. Gomez, A. Lemaître, G. Leo et J. Favero

JNOG – Nouveaux Matériaux**Amphi D****08:45** Fibres Optiques Hybrides Multi-Matériaux*F. Sorin, Y. Qu, T. Das Gupta, D.T. Nguyen, W. Yan, A. Page et M. Volpi***09:15** Réseaux Métalliques pour le Couplage dans des Guides en Dioxyde de Titane*M. Lamy, K. Hammani, J. Arocas, C. Finot et J.-C. Weeber***09:30** Equilibre du photo-noircissement des fibres alumino-silicate dopée thulium pompée à 1.07 μm : effet quantitatif du lanthane, cérium et du thulium.*J-F. Lupi, M. Vermillac, W. Blanc, F. Mady, M. Benabdesselam, B. Dussardier et D. Neuville***09:45** Microdisque de Carbure de Silicium Sur Pilier de Silicium Sondé Par Couplage Evanescent*D. Allieux, A. Belarouci, D. Hudson, N. Singh, E. Mägi, G. Beaudin, A. Michon, R. Orobtschouk et C. Grillet***10:00** Développement d'une plateforme en optique intégrée en verres de chalcogenures pour les moyen infrarouge*A. Gutiérrez-Arroyo, L. Bodiou, J. Lemaitre, I. Hardy, J. Charrier, E. Baudet, F. Starecki, C. Boussard-Plédel, B. Bureau, V. Nazabal, J.-L. Doualan, A. Braud et P. Camy***10:15** Fibres Ruban De Zinc-Phosphate-Argent Photo-Inscriptibles*S. Danto, F. Desevedavy, Y. Petit, J.-C. Desmoulin, A. Abou Khalil, C. Strutynski, M. Dussauze, F. Smektala, T. Cardinal et L. Canioni***Nanophotonique****Amphi F****08:45** Filtres pixellisés intégrés sur détecteur infrarouge pour l'imagerie multispectrale*B. Portier, M. Oussalah, F. Pradal, H. Leplan, A. Monmayrant, H. Camon, H. Sik, J. Fleury, F. Laprat et O. Gauthier-Lafaye***09:15** Expériences de plasmonique quantique*M.-C. Dheur, B. Vest, E. Devaux, T. Ebbesen, A. Baron, J.-C. Rodier, J.-P. Hugonin, P. Lalanne, J.-J. Greffet, G. Messin et F. Marquier***09:45** Sources Intégrées Colloïdales Assistées par Plasmon de Surface pour l'Excitation de Guides d'Ondes Photoniques*J-C. Weeber, K. Hammani, G. Colas Des Francs, A. Bouhelier, J. Arocas, A. Kumar, F. Eloi, S. Buil, X. Quélin, J.-P. Hermier, M. Nasilowski et D. Dubertret***JSM/PAMO - Enjeux et impact de la caractérisation structurelle de carbohydrates : un défi à relever pour la communauté de spectroscopie moléculaire****Amphi A****08:45** Enjeux et impact de la caractérisation structurelle de carbohydrates: un défi à relever pour la communauté de spectroscopie moléculaire*I. Compagnon***09:30** Spectroscopie IR/UV de carbohydrates neutres: glycoconjugués et glycomimiques isolés et hydratés.*P. Carcabal*

09:50 Spectroscopie IRMPD de Carbohydrates en Piège d'Ions*B. Schindler, L. Barnes, G. Renois Predelus, S. Chambert, A-R. Allouche et I. Compagnon***10:10** Approche Rapide et Précise pour Calculer les Corrections Anharmoniques aux Fréquences Vibratoires*L. Barnes, B. Schindler, I. Compagnon et A.-R. Allouche***PAMO/JSM - Physique moléculaire ultra-rapide sous impulsions XUV : présent et futur****Amphi H****08:45** Exploration de dynamiques de charge dans les molécules organiques à l'aide d'impulsions sub-femtosecondes et femtosecondes UVX et rayons X*T. Barillot***09:10** Intense XUV Attosecond Physics at the Lund Laser Centre*S. Maclot, L. Rading, H. Wikmark, J. Lahl, F. Campi, H. Coudert-Alteirac, B. Manschwetus, P. Rudwaski, C. Heyl, M. Miranda, A. L'Huillier et P. Johnsson***09:35** Molécules complexes carbonées sous excitation UVX : dynamiques induites de l'attoseconde à la picoseconde*A. Marciniak, V. Lorient, L. Quintard, V. Despré G. Karras, F. Catoire, A. Kuleff, E. Constant et F. Lépine***10:00** Dynamique Attoseconde de Photoionisation au Voisinage d'une Résonance de Fano*L. Barreau, V. Gruson, A. Jimenez-Galan, F. Risoud, J. Caillat, A. Maquet, B. Carré, F. Lepetit, J.-F. Hergott, T. Ruchon, L. Argenti, R. Taïeb, F. Martin et P. Salières***Horizons – Optique et Espace****Amphi E****08:45** Détection d'ondes gravitationnelles par interférométrie optique*M. Barsuglia***09:30** Les optiques EUV de la mission spatiale Solar Orbiter*F. Auchère, F. Delmotte et R. Mercier***09:55** Architecture optique du sondeur infrarouge IASI-NG*C. Luitot, A. Robert, J. Boyadjian, F. Bernard et E. Baldit***JNPO – Matériaux et propriétés****Amphi G****09:15** Potentialités d'applications de matériaux hybrides pour l'optique et la photonique*R. Mahiou, D. Boyer, A. Potdevin et G. Chadeyron***09:45** Influence de modifications structurales de composés diaziniques de type push-pull sur les propriétés d'émission et d'optique non linéaire*S. Achelle, J. Rodriguez-Lopez et F. Robin-Le Guen***10:00** Fonctionnalisation de surfaces polarisées*M. Bouriga, N. McClenaghan, M. Dussauze, L. Vellutini, T. Buffeteau et V. Rodriguez*

JRIOA – Laser**Amphi C**

08:45 Extended-field wavefront sensing for microscopy applications

J. Mertz

09:15 Mesure et contrôle du champ d'un laser femtoseconde

L. Blanco, N. Védrenne, L. Mugnier, F. Cassaing, V. Michau et G. Chériaux

09:30 L'optique adaptative dans les systèmes Laser de très haute puissance crête

P. Jouglà, M. Charbonneau, F. Lureau, S. Laux, G. Matras, E. Durand, C. Radier, O. Chalus, S. Ricaud, A. Soujaeff, L. Boudjemaa et C. Simon-Boisson

09:45 Contrôle de front d'onde pour l'autofocalisation d'harmoniques d'ordres élevés

L. Quintard, F. Catoire, E. Mével, V. Strelkov, D. Descamps et E. Constant

10:00 Adaptive optics for high-precision high-stability femtosecond laser engraving

C. Javaux, A. Zoubir, R. Kling, A. Royon, B. Beaugrand et X. Levecq

10:15 Laser Apollon : efforts mis en œuvre pour sa qualité spatiale de faisceau

J.P. Zou, G. Chériaux, D. Papadopoulos, C. Le Blanc, F. Druon, L. Martin, A. Fréneaux, A. Beluze, N. Lebas, I. Taghzout, J.L. Paillard, F. Mathieu, B. Le Garrec et P. Audebert

COLOQ – Ingénierie Quantique (IngeQ)**Amphi B**

11:00 Interférométrie quantique en lumière blanche - Application à la mesure de la dispersion chromatique

F. Kaiser, D. Aktas, P. Vergyris, C. Babin, L. Labonté et S. Tanzilli

11:30 Quantum simulation of Ising-type Hamiltonians in tunable 2D arrays of single Rydberg atoms

D. Barredo, H. Labuhn, S. Ravets, S. De Léséleuc, T. Macri, T. Lahaye et A. Browaeys

12:00 De la détection des ondes gravitationnelles à l'optomécanique quantique

P.-F. Cohadon

Horizons – Optique et Nanostructures**Amphi E**

11:00 Nano-ablation à haut rapport de forme

P.A. Lacourt, C. Xie, R. Giust, L. Froehly, F. Courvoisier et J. Dudley

11:30 Nanostructures pour le photovoltaïque solaire

S. Collin

12:00 Structuration laser femtoseconde avec de la lumière structurée

Y. Petit, E. Lee, K. Mishchik, E. Brasselet, S. Danto, I. Manek-Hönninger, T. Cardinal et L. Canioni

12:15 Nouvelles méthodes de confinement optiques et phononiques, mesurées par diffusion raman

F.R. Lamberti, C. Gomez Carbonell, A. Lemaître, O. Krebs, I. Favero, B. Jusserand, P. Senellart, L. Lanco et D. Lanzillotti-Kimura

JNOG – Amplificateurs et lasers à fibre**Amphi D**

- 11:00** Synthèse Cohérente de Faisceaux Brillants et d'Impulsions Brèves à Partir de Sources Laser à Fibre
V. Kermène, A. Desfarges-Berthelemot, R. Florentin, D. Kabeya, P. Rigaud et A. Barthélémy
- 11:30** Combinaison Cohérente dans une Fibre Multicoeurs Dopée Er3+
F. Prevost, M. Hanna, P. Ramirez, G. Bouwmans, L. Bigot et L. Lombard
- 11:45** Système laser entièrement fibré délivrant des impulsions nanosecondes supérieures à 100µj et un faisceau cohérent de profil d'intensité aplati
F. Scoj, P. Gouriou, A. Perrin, J.-F. Gleyze, L. Bigot, A. Cassez, C. Valentin, G. Bouwmans et E. Hugonnot
- 12:00** Focalisation de l'énergie par contrôle modal à la sortie d'une fibre amplificatrice à grand nombre de modes
R. Florentin, V. Kermène, A. Desfarges-Berthelemot, D. Pagnoux et A. Barthélémy
- 12:15** Coherent beam combining of 19 fibers in femtosecond regime
J. Le Dortz, A. Heilmann, M. Antier-Murgey, J. Bourderionnet, C. Larat, I. Fsaifes, L. Daniault, S. Bellanger, C. Simon Boisson, J.-C. Chanteloup, E. Lallier et A. Brignon
- 12:30** Forte réduction du bruit d'intensité d'un laser par filtrage d'un laser Brillouin pour les ordres de Stokes 1 et 2
S. Fresnel, S. Trebaol, C. Pareige, P. Besnard et S. Larochele
- 12:45** Laser à fibre impulsional contrôlé par algorithme d'évolution
U. Andral, J. Buguet, R. Si Fodil, F. Amrani, F. Billard, E. Hertz et P. Grelu

JNPO – Plasmonique Moléculaire**Amphi G**

- 11:00** Nanostructures Plasmoniques et Réponses Optiques de Systèmes Hybrides : un Enjeu Scientifique pour Chimistes et Physiciens
S. Parola
- 11:30** Inducing Fano resonances through long-range interaction
I. Ragheb, G. Lévi, J. Aubard, L. Lecaque-Boubekeur, S. Lau-Truong, J. Grand et N. Felidj
- 11:45** Effet plasmonique de réseau périodique de nanoparticules métalliques sur les propriétés optiques et électriques des OLEDs
S. Khadir, M. Chakaroun, A. Fischer, O. Lamrous et A. Boudrioua

JRIOA – Applications émergentes - Miroirs déformables, composants actifs**Amphi C**

- 11:00** La plateforme PEMOA : outil de diffusion de l'Optique Adaptative
O. Mollet, J.-F. Sauvage, K. El-Hadi, T. Fusco, V. Michau, J. Lopez, M. Ferrari et K. Mirochnitchenko

- 11:15** Nano-correction of Bimorph Mirrors for Synchrotron radiation Sources and XFEIs
L. Peverini, S. Perrin, H. Guadalupi, C. Du Jeu et J.J. Fermet
- 11:30** Détecteurs courbes et déformables: nouveaux composants pour l'optique active et adaptative
W. Jahn, E. Hugot, M. Ferrari, J.-F. Sauvage et T. Fusco
- 11:45** FAME: un prototype de miroir freeform actif, nouveau composant pour les systèmes actifs et adaptatifs
E. Hugot, M. Ferrari et S. Lemared
- 12:00** Les miroirs déformables à actionneurs magnétiques Alpao : applications, performances et développements.
B. Charlet

Nanophotonique

Amphi F

- 11:00** Emission thermique à base de nano-antennes
P. Bouchon
- 11:30** Active Plasmons/molecules Interactions
R. Bachelot
- 12:00** Composants intégrés: plasmoniques et magnétoplasmoniques
B. Dagens, G. Magno, B. Leroy, A. Ecarnot, V. Yam, P. Gogol, H. Bertin et R. Megy
- 12:30** Filtrage spectral par réseau sub-lambda résonnant
A.L. Fehrembach

JSM/PAMO - Aux alentours de PETAL+ (Laser Mégajoule)

Amphi H

- 11:00** PETAL, le laser multi-petawatt dans l'installation LMJ
N. Blanchot
- 11:20** Giant ElectroMagnetic Pulse generation in short pulse laser experiments
A. Poyé, S. Hulin, M. Bailly-Grandvaux, J.-L. Dubois, J. Ribolzi, D. Raffestin, M. Bardon, F. Lubrano-Lavaderci, E. D'Humières, J. Santos, P. Nicolaï et V. Tikhonchuk
- 11:34** Projet PETAPhys : Diagnostics & Simulations
G. Boutoux, J. Baggio, D. Batani, D. Bretheau, E. D'Humières, F. Granet, C. Meyer, Q. Moreno, D. Raffestinet V. Tikhonchuk
- 11:48** Development and calibration of the SPECTIX diagnostic for PETAL
K. Jakubowska
- 12:02** Development and absolute calibration of the SEPAGE charged particle detector at LMJ-PETAL
N. Rabhi, K. Bohacek, D. Batani, G. Boutoux, J.-E. Ducret, E. Guillaume, C. Thauray, I. Thfoin, A. Binet, K. Jakubowska, J.-P. Nègre et C. Reverdin
- 12:16** Premières expériences PETAL sur cibles solides : caractérisation des diagnostics SPECTIX et SESAME
J.-E. Ducret, D. Batani, S. Hulin, C. Reverdin, I. Thfoin, A. Duval, L. Lecherbourg, K. Jakubowska, G. Boutoux, N. Rabhi, D. Raffestin, L. Serani, S. Bastiani et M. Koenig

JSM/PAMO - Les électrons: une alternative aux photons?**Amphi A**

- 11:00** Source d'électrons et d'ions à partir d'atomes refroidis par laser
D. Comparat, E. Moufarej, M. Vielle-Grosjean, C. Lopez et Y. Picard
- 11:15** Utilisation des rayons X mous pour l'étude des électrons de basse énergie en solution aqueuse
M.-A. Hervé Du Penhoat, A. Touati, J.-M. Guigner, M.-F. Politis, J. Kaddissy, P. Mercere, C. Nicolas et J-P Renault
- 11:30** Sources d'électrons par interaction laser-plasma et application à la diffraction d'électrons résolue en temps
J. Faure
- 11:45** Paquets d'électrons sub-ps dans les accélérateurs : génération, transport et diagnostic
C. Bruni
- 12:00** Mesures ultrarapides de rayonnement THz ou de forme de paquets d'électrons par laser femtoseconde
C. Evain, M. Le Parquier, C. Szway, S. Bielawski, E. Roussel, L. Manceron, J.-B. Brubach, M.-A. Tordeux, S. Ricaud, L. Cassinari, M. Labat, M.-E. Couprie, P. Roy, N. Hiller, A. Borysenko, P. Schönfeldt, J.L. Steinmann et A.-S. Mueller

Jeudi 7 juillet 2015**PAMO/JSM-COLOQ – Ions, Molécules, Atomes****Grand Amphi**

- 08:45** L'effet Casimir : l'Optique quantique dans le vide
R. Guerout, G. Dufour, S. Reynaud et A. Lambrecht
- 09:30** Coherent population trapping of a single nuclear spin under ambient conditions
P. Jamonneau, G. Hétet, A. Dréau, J.-F. Roch et V. Jacques
- 10:00** Magnétisme quantique et refroidissement par distillation de spin dans un gaz quantique dipolaire
B. Naylor, S. Lepoutre, E. Maréchal, O. Gorceix, P. Pédrì, B. Laburthe-Tolra et L. Vernac

Horizons – Optique et Plasmons**Amphi E**

- 08:45** Métasurfaces plasmoniques pour le visible et l'infrarouge
A. Moreau
- 09:15** Assembler des antennes optiques nanométriques sur des brins d'ADN
S. Bidault
- 09:45** Spin-controlled near-field addressing of plasmonic nano-antennas
Y. Lefier, M. Suarez, R. Salut, U. Fischer et T. Grosjean
- 10:00** Luminescence à Deux Photons de Nanobâtonnets d'Or Colloïdaux : Influence du Volume pour une Même Résonance Plasmon
C. Molinaro, S. Marguet, L. Douillard, F. Charra et C. Fiorini-Debuisschert

- 10:15** Emission d'une antenne plasmonique couplée à un émetteur unique
A. Dhawan, C. Belacel, C. Schwob, M. Nasilowski, D. Dubertret, L. Coolen, P. Senellart et A. Maître

JRIOA – Astronomie-Algorithmes et calculateurs de contrôle, traitements-Applications biomédicales **Amphi C**

- 08:45** Optique adaptative pour les futurs télescopes de 30-40 mètres de diamètre
J.L. Beuzit
- 09:00** L'optique adaptative au service des grands télescopes terrestres
N. Moussaoui
- 09:15** PSF Reconstruction for LGS MOAO systems
O. Martin, C. Correia, E. Gendron et G. Rousset
- 09:30** Approche pseudo-analytique pour simuler l'OA à deux étages du spectrographe multi-objet E-ELT/MOSAIC
C. Morel, E. Gendron et G. Rousset
- 09:45** Contrôle cohérent spatiotemporel de la lumière dans les milieux multi-diffusants
M. Mounaix, D. Andreoli, H. Defienne, G. Volpe, O. Katz, S. Gresillon et S. Gigan
- 10:00** Contrôle de front d'onde ultra rapide pour focaliser dans des milieux diffusants biologiques
B. Blochet, D. Martina, L. Bourdieu et S. Gigan
- 10:15** Stabilisation au nanomètre d'un microscope optique par imagerie de phase quantitative
P. Bon, J. Wenger et S. Leveque-Fort

JNOG – Amplificateurs et Lasers à semi-conducteurs **Amphi D**

- 09:00** Les MIMs (Metal-Isolant-Metal) : des guides ultra-courts pas comme des autres
A. Vasanelli, Y. Todorov, B. Askenazi, I. Sagnes et C. Sirtori
- 09:30** Dynamiques spectrales et propriétés de bruit dans les lasers InGaN
A. Congar, K. Hussain, C. Pareige, J.-M. Lamy, E. Feltn, R. Butté, N. Grandjean, P. Besnard et S. Trebaol
- 09:45** Lasers tout Cristal Photonique à pompage électrique émettant en continu dans le moyen Infra-Rouge
B. Adelin, A. Monmayrant, P. Dubreuil, A. Lecestre, Y. Rouillard, G. Boissier, M. Bahriz, A. Vicet et O. Gauthier-Lafaye
- 10:00** Caractérisation par corrélations quantiques de la région de seuil d'un microlaser de classe B
D. Aktas, T. Wang, O. Alibart, G.L. Lippi, E. Picholle et S. Tanzilli
- 10:15** Direct Observation of Thermally Excited Zenneck Waves on SiO₂ Sub-wavelength Layers from Mid to Near-infrared
S. Gluchko, B. Palpant, S. Volz, R. Braive et T. Antoni

JNPO – OLED et Composants optoélectroniques organiques**Amphi B**

- 09:15** Vers des cellules solaires photovoltaïques organiques stables
G. Wantz
- 09:45** Modifications de la structure D- π -A d'un colorant organique et effets sur l'efficacité photovoltaïque dans les cellules solaires à colorants
M. Godfroy, D. Joly, C. Aumaitre, Y. Kervella, L. Pellejà, P. Maldivi, F. Oswald, S. Narbey, E. Palomares et R. Demadrille
- 10:00** Auto-organized photonic crystals for brightness enhancement of blue OLEDs
M. Mruczkiewicz, F. Dumur, A. Bertrand, A. Bousquet, M. Perrin, S. Reculosa, C. Dagron-Lartigau, L. Vignau, L. Billon et S. Fasquel
- 10:15** Réponse Impulsionnelle de micro-OLEDs soumises à des impulsions électriques nanoseconde à haute densité de courant
A. Chime, A. Fischer, L. Zeng, M. Chakaroun, M.W. Lee, S. Bensmida, H. Nkwawo et A. Boudrioua

COLOQ-JSM-PAMO - Ions, Molécules, Atomes**Grand Amphi**

- 11:00** High Resolution Overtone Spectroscopy and Dynamics of Small Molecules: Trends and Challenges
M. Herman
- 11:30** Un diagnostic rapide et efficace pour les très longues chaînes d'ions en piège
M.R. Kamsap, C. Champenois, J. Pedregosa-Gutierrez et M. Knoop
- 12:00** Des nouveaux spectromètres optiques pour l'étude du couplage climat-géochimie
R. Grilli, D. Romanini, J. Chappellaz, O. Alemany, J. Triest, E. Kerstel et T. Subglacior

Horizons – Optique et Culture**Amphi E**

- 11:00** Une réplique moderne de l'expérience de Fizeau d'entraînement partiel de l'éther par l'eau en mouvement
R. Mathevet, P. Labastie et T. Lahaye
- 11:30** Rayonnement synchrotron et matériaux du patrimoine
L. Bertrand, P. Gueriau et M. Thoury
- 12:00** La vraie nature de la lumière : un quête jamais terminée
M. Leduc

JNOG - Nouvelles méthodes et caractérisations**Amphi D**

- 11:00** Convertisseurs de longueur d'onde RAMBIO, principe et applications
M.C. Phan Huy, P. Delaye, G. Pauliat et S. Lebrun

- 11:30** Caractérisation d'un laser fibré à effet Talbot
C. Schnebelin et H. Guillet De Chatelus
- 11:45** Laser femtoseconde entièrement fibré émettant à 1650 nm et application à la microscopie tri-photonique
P. Cadroas, L. Kotov, L. Abdeladim, M. Likhachev, D. Lipatov, J.-T. Gomes, D. Gaponov, A. Hideur, J. Livet, W. Supatto, E. Beaurepaire et S. Févrie
- 12:00** L'indice effectif moyen: un acteur clé dans la réponse des réseaux de Bragg fibrés à la courbure
R. Guyard, D. Leduc, Y. Lecieux et C. Lupi
- 12:15** Echantillonneur et amplificateur tout optique par modulation temporelle de phase
J. Nuno, M. Gilles, M. Guasoni, C. Finot et J. Fatome
- 12:30** Etude de la propagation du mode LP01 dans une fibre de Bragg à coeur large (50µm) a longueur de 1860 nm
G. Granger, M. Jossent, M. Likhachev et S. Février

JNPO – Capteurs et Instrumentation

Amphi B

- 11:00** Design and fabrication of polymer-on-glass gratign couplers for biosensing application
M. Diez, S. Joly, V. Raimbault, L. Oyhenart, L. Bilbao, L. Bechou, I. Obieta et C. Dejous
- 11:15** Conception de nanoparticules organiques fluorescentes Ultra-brillantes pour la nanoscopie dans le proche IR
J. Daniel, A. Godin, G. Clermont, B. Lounis, L. Cognet et M. Blanchard-Desce
- 11:30** Polarimetric Determination of The Orientation of A Single Nano-platelet
L.T. Nguyen, F. Feng, M. Nasilowski, D. Dubertret, L. Coolen et A. Maître
- 11:45** Table ronde: Organisation du club, prochaines journées «photonique organique»

JRIOA – Applications biomédicales

Amphi C

- 11:00** Exploration 3D de la Rétine pour la Chirurgie Laser et l'Imagerie
P. Baraçal De Mecê, S. Meimon et M. Paques
- 11:15** PARIS'S High Speed Adaptive Optics Flood Illumination Ophtalmoscope
E. Gofas Salas, M. Paques, C. Petit, S. Meimon, L. Mugnier, A. Bonnefois, L. Blanco, J. Montri, B. Fleury et F. Mendez
- 11:30** Design optique innovant pour l'imagerie corticale à grand champ
W. Jahn, J.F. Sauvage, T. Fusco, F. Chavane, S. Roux, E. Hugot et M. Ferrari
- 11:45** Imagerie de Phase Quantitative en Microscopie
S. Aknoun, J. Savatier, B. Wattellier et S. Monneret
- 12:00** Approche Matricielle de la Propagation des Ondes en Milieux Complexes : Application à l'Imagerie.
A. Badon, G. Lerosey, C. Boccara, M. Fink et A. Aubry
- 12:15** Optique adaptative pour l'imagerie de l'activité neuronale de la souris éveillée
D. Champelovier, J. Teixeira, A. Malvache, J.-M. Conan, S. Meimon, L. Mugnier, R. Cossart, H. Rigneault et S. Monneret

12:30 Optique Adaptative pour l'Optimisation de la Focalisation de Lasers jusqu'à F/1

I. Doudet, D. Brahmi et B. Wattellier

Stands pédagogiques

S1 Mallette pédagogique pour l'holographie : comment faire des expériences pour l'enseignement supérieur en s'affranchissant simplement des vibrations parasites

A. Escarguel et R. Baude

S2 HOBIT : Hybrid optical benches for innovative teaching

B. Bousquet, L. Canioni, J.-P. Guillet, M. Hachet, S. Fleck, D. Furio, B. Coulais et J. Bergognat

S3 La tomographie par cohérence optique : un projet expérimental

G. Latour, M. Godard, V. Guillet et M. Jacquy.

S4 VP2L : Un Serious Game en réalité virtuelle 3D appliqué à la formation aux technologies optique et laser

L. Dutertre, B. Fabre, E. D'Humières, S. Petit, D. Lyoen, J. Dronval, E. Boeri et E. Cormier

S5 Un ensemble polyvalent d'expériences optiques de démonstration

R. Mathevet

Sessions posters

JSM/PAMO : Journée de Spectroscopie Moléculaire / Physique Atomique et Moléculaire et Optique

- P0** Symétries vibrationnelles par imagerie raman cohérente
C. Cleff, H. Rigneault, S. Brasselet et J. Duboisset
- P1** Effet stark dynamique dans le dysprosium et l'holmium
H. Li, M. Lepers, J.-F. Wyart et O. Dulieu
- P2** Effets de l'orientation sur les sections efficaces multi-différentielles de double ionisation de la molécule de chlorure d'hydrogène
S. Mokrani, H. Aouchiche et C. Champion
- P3** Génération d'impulsions attosecondes portant du moment orbital angulaire
R. Généaux, C. Chappuis, A. Camper, O. Gobert, T. Auguste et T. Ruchon
- P4** Refroidir des ions de terre rare par laser
M. Lepers, Y. Hong, J.-F. Wyart et O. Dulieu
- P5** Structure moléculaire de films de mouillage étudiés par des techniques de spectroscopie vibrationnelle
L. Dalstein, J. Liljeblad et E. Tyrode
- P6** Birefringence magnétique linéaire du vide sous champ magnétique pulse
A. Rivère, A. Cadène, M. Hartman, M. Fouché, R. Battesti et C. Rizzo
- P7** Amplification paramétrique infrarouge dans $\text{La}_3\text{Ga}_{5,5}\text{Ta}_{0,5}\text{O}_{14}$
E. Boursier, P. Segonds, B. Boulanger, J. Debray, G. Archipovaite, S. Petit, J.C. Delagnes et E. Cormier
- P8** Bandes rouges de NiH et NiD detectees par CRDS
G. Dobrev, J. Morville, D. Tokaryk, A. Ross et P. Crozet
- P9** Scattering of light by small clouds of cold interacting atoms
Y. Sortais, S. Jennewein, M. Besbes, S. Jenkins, N. Schilder, C. Sauvan, J.-J. Greffet, J. Ruostekoski et A. Browaeys
- P10** Creation of a strongly dipolar gas of ultracold ground-state $^{23}\text{Na}^{87}\text{Rb}$ molecules
R. Vexiau, M. Guo, B. Zhu, B. Lu, X. Ye, F. Wang, D. Wang, N. Bouloufa-Maafa, G. Quémener et O. Dulieu
- P11** FROG monocoup achromatique du visible à l'infrarouge moyen
A. Dubrouil, S. Beaulieu, F. Catoire, E. Constant, D. Descamps, J.C. Delagnes, E. Cormier et Y. Mairesse
- P12** Décroissance libre de l'induction XUV de paquet d'ondes de Rydberg
E. Bloch, S. Beaulieu, R. Généaux, D. Descamps, S. Petit, V. Blanchet, F. Légaré et Y. Mairesse

- P13** Optical fields to control ultracold atomic/molecular collisions
A. Orbán, R. Vexiau, A. Crubellier, E. Luc-Koenig, H.-C. Nägerl, G. Pupillo, O. Dulieu et N. Bouloufa-Maafa
- P14** Spectroscopie de la molécule d'ammoniac dans le proche infrarouge
P. Cacciani, J. Cosléou, M. Khelkhal, J. El Romh, P. Cermak et J. El Romh
- P15** Photoionization of CH₄, H₂O and NH₃ within a Sturmian approach
C.M. Granados-Castro, G. Gasaneo, D. M. Mitnik et L.U. Ancarani
- P16** Laser induced fluorescence in NiD
M. Abbasi, A. J. Ross et P. Crozet
- P17** Electron impact ionization of CH₄, H₂O and NH₃ within a Sturmian approach
C.M. Granados-Castro et L.U. Ancarani
- P18** Sources moyen infrarouge largement accordables basées sur des lasers à cascade quantique développées pour la détection de gaz
L. Bizet, R. Vallon, B. Parvitte, G. Maisons, M. Carras et V. Zéninari
- P19** Coulomb three-body systems with different masses: ground state calculations using adjustable Sturmian functions
J.M. Randazzo et L.U. Ancarani
- P20** Développement d'un spectromètre à diode laser pour la mesure de CO₂ dans les applications lié à l'oenologie
A.-L. Moriaux, R. Vallon, C. Cilindre, G. Liger-Belair, B. Parvitte et V. Zéninari
- P21** Scattering problems with nondecaying sources: two-photon ionization as a benchmark
A.I. Gómez, G. Gasaneo, D.M. Mitnik, M.J. Ambrosio et L.U. Ancarani
- P22** Conception et simulation de cuves photoacoustiques de type Helmholtz miniatures pour la détection de gaz atmosphériques
B. Parvitte, R. Vallon et V. Zéninari
- P23** Étude spectroscopique à haute résolution du méthane vers 1,65 μm pour la mission spatiale Merlin
R. Vallon, B. Parvitte, T. Delahaye, H. Tran et V. Zéninari
- P24** Testing the velocity distribution of atoms flying nearly-parallel to a wall
P. Todorov et D. Bloch
- P25** Continuous cold-atom inertial sensor with 1 nrad.s⁻¹ rotation stability
B. Fang, I. Dutta, D. Savoie, B. Venon, C. L. Garrido Alzar, R. Geiger and A. Landragin
- P26** Réponse optique d'agrégats d'argent libres et environnés
R. Schira et F. Rabilloud

- P27** Une nouvelle spectroscopie en couche interne : ionisation et excitation simultanée de deux électrons de cœur
F. Penent, P. Selles, P. Lablanquie, J. Palaudoux, L. Andric, M. Nakano, Y. Hikosaka, K. Ito, T. Marchenko, O. Travnikova, G. Goldsztejn, L. Journel, R. Guillemin, D. Céolin, M. Simon, M.N. Piancastelli et S. Carniato
- P28** State selected sympathetically cooled H_2^+ ions for precision measurements
J.M. Heinrich, N. Sillitoe, J.-P. Karr, A. Douillet, T. Louvradoux et L. Hilico
- P29** Interaction plasmonique de Casimir-Polder hors équilibre
R. Messina, N. Bartolo, D. Dalvit et F. Intravaia
- P30** Développement de senseurs à atomes froids compacts pour la navigation inertielle
L. Fouché, L. Chichet, B. Barrett, B. Battelier, H. Porte, F. Napolitano et P. Bouyer
- P31** La spectroscopie Ramsey-Comb: une méthode originale de spectroscopie haute résolution dans l'ultra-violet lointain
S. Galtier, R.K. Altmann, L.S. Dreissen et K.S.E. Eikema
- P32** Le myrténal et ses hydrates : caractérisation par calculs de chimie quantique et spectroscopie micro-onde
M. Chrayteh, P. Dréan et T. Huet
- P33** Dual-species Bose-Einstein condensates for a Weak Equivalence Principle test in microgravity
G. Condon, L. Antoni-Micollier, L. Chichet, B. Barrett, B. Battelier, A. Landragin et P. Bouyer
- P34** Expérience de diffraction d'électrons ultrarapide et présentation de résultats obtenus sur un échantillon de silicium monocristallin
G. Gallé et J. Faure
- P35** Photoionization du radical méthylidène
B.Gans, F. Holzmeier, J. Krüger, C. Falvo, A. Röder, A. Lopes, G.A. Garcia, C. Fittschen, J.-C. Loison et C. Alcaraz
- P36** Structure électronique excitée du méthylcyanoacétylène étudiée par photoabsorption VUV
N. Lamarre, B. Gans, S. Douin, L.A. Vieira Mendes, N. de Oliveira, C. Crépin, M. Chevalier, R. Kotos, J.-C. Guillemin et S. Boyé-Péronne
- P37** Probing superfluidity in a quasi two-dimensional Bose gas through its local dynamics
C. De Rossi, R. Dubessy, K. Merloti, M. de Góer de Herve, T. Badr, A. Perrin, L. Longchambon et H. Perrin
- P38** Mesures atmosphériques par spectromètre ultra léger (AMULSE) dédiés à des mesures de profils verticaux des gaz à effet de serre (CO_2 , CH_4) sous ballons stratosphériques : développement instrumental et application sur le terrain.
R. Maamary, L. Joly, T. Decarpenterie, J. Cousin, N. Dumelié, B. Grouiez, G. Albora, N. Chauvin, Z. Miftah-EI-Khair, D. Legain, D. Tzanos, J. Barrié, E. Moulin, M. Ramonet, F.-M. Bréon et G. Durry
- P39** Backward Raman amplification in plasma
R. Nuter et V. Tikhonchuk

- P40** Photodétachement en cavité optique
D. Bresteau, C. Drag et C. Blondel
- P41** Manipulation cohérente d'un condensat de Bose-Einstein d'Ytterbium sur la transition d'horloge
A. Dareau, M. Scholl, Q. Beaufils, D. Döring, M. Bosch Aguilera, R. Bouganne, J. Beugnon et F. Gerbier
- P42** Réactions contrôlées de cations et d'anions
A. Lopes, C. Romanzin, B. Cunha de Miranda et C. Alcaraz
- P43** Instabilités spatiales dans un nuage d'atomes froids
R. Romain, A. Jallageas, P. Verkerk et D. Hennequin
- P44** Excitation, recombination and dissociation of molecular cations in cold ionised media : mechanisms and cross sections
F. Colboc, J. Z. Mezei, S. Niyonzima, S. Ilie, M.D. Epée Epée, D.A. Little, B. Pérès, V. Morel, N. Pop, K. Chakrabarti, O. Motapon, D. Benredjem, A. Bultel, K. Hassouni, J. Tennyson et I.F. Schneider
- P45** Elementary processes involving H₂ : from early Universe towards star formation
J.Z. Mezei, F. Colboc, C. Coppola, O. Motapon, C. Jungen et I.F. Schneider
- P46** Couplage Vernier d'un peigne de fréquence optique à une cavité de haute finesse pour la spectroscopie d'hydrures métalliques d'intérêt astrophysique
J. Morville, P. Crozet, L. Rutkowski et A. Ross
- P47** Interplay between material and optical chirality during self-induced optical vortex generation in liquid crystals
N. Kravets et E. Brasselet
- P48** Towards measuring parity violation in cold chiral molecules using vibrational spectroscopy
S.K. Tokunaga, M. Pierens, D.B.A. Tran, R. Santagata, A. Shelkovnikov, O. Lopez, C. Daussy, C. Chardonnet, A. Amy-Klein et B. Darquié
- P49** Vers une nouvelle mise en pratique du Kelvin par spectroscopie laser
B. Darquie, O. Kozlova, S.K. Tokunaga, C. Chardonnet, S. Briaudeau et C. Daussy
- P50** Single-atom imaging of fermions in a quantum-gas microscope
B. Peaudecerf, E. Haller, J. Hudson, A. Kelly, D.A. Cotta, G.D. Bruce et S. Kuhr
- P51** Formation and destruction of molecular ions in cold ion-atom hybrid traps
H. da Silva Jr, M. Aymar, M. Raoult et O. Dulieu
- P52** Rydberg atoms of Ytterbium
H. Lehec, A. Zuliani, W. Maineult, P. Pillet et P. Cheinet
- P53** Génération de potentiels versatiles sur un gaz de Bose dégénéré à deux dimensions
J.-L. Ville, R. Saint-Jalm, M. Aidelsburger, L. Corman, J. Beugnon, S. Nascimbène et J. Dalibard

- P54** Application de l'intrication spatiale à l'imagerie fantôme temporelle
S. Denis, P.-A. Moreau, F. Devaux et E. Lantz
- P55** Caractérisation des phases non-linéaires et des couplages spatio-temporels des amplificateurs à dérive de fréquence par la méthode D-Scan
A. Volte, J.C. Delagnes, S. Petit et E. Cormier
- P56** Diffraction d'atomes d'Argon métastables lents sur nanoréseaux
F. Correia, N. Fabre, F. Perales, J. Baudon, M. Ducloy et G. Dutier
- P57** Discriminer une Variation de Me/Mp à 1.5 μm
F.L. Constantin
- P58** Etude théorique des états de Rydberg de l'ion HeH⁺ en utilisant le modèle Halfium
I. Bouhali, S. Bezzaouia, M. Telmini et C. Jungen
- P59** Un ralentisseur Zeeman à aimants permanents et autres outils.
D. Ben Ali, C. De Rossi, M. De Goer, L. Longchambon, R. Dubessy, T. Badr, A. Perrin et H. Perrin
- P60** Ecoulements optofluidiques pilotés par chauffage laser
D. Riviere, H. Chraïbi, U. Delabre et J.-P. Delville

JNOG : Journées Nationales d'Optique Guidée

- P61** Laser à fibre verrouillé en phase à base de graphène comme absorbant saturable déposé sur un taper
G. Semaan, P. Mouche], M. Salhi, M. Le Flohic et F. Sanchez
- P62** Compression spectrale améliorée par une modulation de phase correctrice sinusoïdale
C. Finot et S. Boscolo
- P63** Pré-distorsion numérique à très faible complexité pour la compensation d'effets non-linéaires au sein d'un transmetteur optique CO-OFDM
M. Younes, S. Azou, N. Tanguy, P. Morel, M. Telescu et C. Diouf
- P64** PICS4ALL : faciliter l'accès à la conception et à la production de circuits intégrés photoniques
K. Schires, D. Erasme et F. Grillot
- P65** Laser picoseconde à fibre Yb à taux de répétition continûment accordable entre 11 et 18 GHz
A. Aubourg, J. Lhermite, S. Hocquet, E. Cormier et G. Santarelli
- P66** Réalisation d'une source Yb accordable tout-fibrée pour la conversion de fréquence vers le domaine visible par mélange à quatre ondes dans des fibres microstructurées
R. Royon, J. Lhermite, J.C. Delagnes, E. Cormier, G. Santarelli, R. Jamier, P. Roy, D. Darwich et R. Dauliat

- P67** Laser à fibre dopée erbium intégrant un interféromètre de Mach-Zehnder pour la génération d'impulsions ultra courtes à haute cadence
R. Si Fodil, F. Amrani, A. Kellou et P. Grelu
- P68** Réalisation de guides d'onde enterrés avec un procédé quasi-planaire
S. Calvez, A. Arnoult, P.-F. Calmon, A. Lecestre, C. Fontaine, A. Monmayrant et G. Almuneau
- P69** Interactions non linéaires basées sur un accord de phase modal dans des guides GaN à très faibles pertes.
M. Gromovyi, F. Semond, J. Brault, A. Courville, P. Baldi, J.Y. Duboz et M. De Micheli
- P70** Génération d'impulsions picosecondes haute énergie dans un oscillateur paramétrique optique à fibre accordable autour de 1.7 μm
R. Becheker, M. Tang, P.-H. Hanzard, A. Tyashev, A. Mussot, A. Kudlinski, A. Kellou, J.-L. Oudar, T. Godin et A. Hideur
- P71** Stabilisation d'un laser Brillouin fibré non résonant pour la pompe : application à la génération de porteuse opto-RF ultra-pure.
G. Danion, L. Frein, D. Bacquet, G. Pillet, S. Molin, L. Morvan, G. Ducournau, M. Vallet, P. Szriftgiser et M. Alouini
- P72** Laser à verrouillage de modes par absorbant saturable à semi-conducteur massif à fort contraste
P.-H. Hanzard, M. Tang, L. Fang, A. Haboucha, T. Godin, I. Sagnes, C. Bachelet, J.-L. Oudar et A. Hideur
- P73** Mesure in situ de vitesses de détonation par réseaux de Bragg à périodes variables
S. Magne, Y. Barbarin, A. Lefrançois, V. Chuzeville, J. Luc, K. Woirin, G. Laffont et P. Ferdinand
- P74** Pre-compensation des effets thermiques pour la montée en puissance dans une fibre aperiodique à large pitch
D. Darwich, R. Dauliat, R. Jamier, A. Benoît, K. Schuster et P. Roy
- P75** Performances de nouveaux codes hybrides à deux dimensions MPS/ZCC dans un système CDMA optique temps/longueur d'onde
C. Kandouci
- P76** Fibre monomode polarisante à mode fondamental aplati de diamètre 30 μm
P. Gouriou, F. Scol, C. Valentin, Y. Quiquempois, L. Bigot, O. Vanvincq, E. Hugonnot et G. Bouwmans
- P77** Combinaison cohérente d'une barrette de diodes laser en cavité interférométrique
G. Schimmel, I. Doyen, S. Janicot, M. Hanna, P. Georges, G. Lucas-Leclin, J. Decker, P. Crump, G. Erbert, U. Witte et M. Traub
- P78** Modulation en bande latérale unique et translation de fréquence optique accordable
C. Guyot, J.C. Tchahame Nougnihi, A. Mottet, N. Bourriot et J. Hauden

- P79** Contrôle électrique et magnétique de l'effet Goos-Hänchen dans une hétéro structure électro-optique / magnéto-électrique
F. Bentivegna, Y. Dadoenkova, N. Dadoenkova, I. Lyubchanskii, R. Petrov et M. Bichurin
- P80** Source Laser accordable à base des cristaux photoniques non-linéaires (PPLT-2D)
H. Chikh-Touami, R. Kremer, Z. Illas, M.W. Lee, L.M. Simohamed, L.-H. Peng et A. Boudrioua
- P81** Développement d'un endoscope pour l'imagerie Raman cohérente
V. Mytskaniuk, A. Lombardini, X. Chen, S. Sivankutty, J. Wenger, R. Habert, C. Fourcade-Dutin, E.R. Andresen, A. Kudlinski et H. Rigneault
- P82** Design d'un laser a miroir en boucle non linéaire pour la génération contrôlée de mono- bi- et tri-solitons
C.B.L. Mback, P. Tchofo Dinda, B. Igbonacho, P. Grelu et A.-B. Moubissi
- P83** Single frequency high power and low intensity noise 1064nm laser
G. Guiraud, G. Santarelli et N. Traynor
- P84** Amplification paramétrique d'impulsions femtosecondes à dérive de fréquence à 1 μm dans la gamme μj
P. Morin, J. Dubertrand, P. Beaure D'Augères, G. Bouwmans, A. Kudlinski, Y. Quiquempois, A. Mussot et E. Hugonnot
- P85** Guides d'onde OP-GaAs enterrés à faibles pertes pour la conversion de fréquence vers le moyen-infrarouge
S. Roux, A. Evirgen, M. Lecomte, G. Lehoucq, O. Parillaud, B. Gérard, A. Grisard et E. Lallier
- P86** Réalisation d'une source de photons uniques fibrée
P. Boucher, G. Labroille et N. Treps
- P87** Effet des résonances parasites dans les réseaux optiques sur puce avec une topologie en anneau
A. Parini et C. Peucheret
- P88** Mesure des nonlinéarités effectives du 3ème ordre d'un guide optique par une technique D-scan bi-directionnelle
S. Serna et N. Dubreuil
- P89** Contrôle du confinement des photons à l'intérieur de membranes à cristaux photoniques: Application à des dispositifs spectralement et spatialement sélectifs
C. Blanchard, P. Viktorovitch, C. Jamois, J.-L. Leclercq, J.-P. Hugonin, C. Sauvan et X. Letartre
- P90** Simulations et mesures des pénalités de chirp d'un modulateur silicium en anneau résonant
O. Dubray, G. Beninca De Farias, A. Myko, O. Lemmonier, P. Grosse, I. O'Connor et S. Menezo
- P91** Impact de la diffusion Raman sur la dynamique multi-impulsionnelle dans un laser à fibre à gestion de la dispersion
M. Alsaleh, P. Tchofo Dinda, T. Uthayakumar, E. Tchomgo Felenou et P. Grelu

- P92** Passage de lumière entre guides d'onde photoinduits et analogies avec des systèmes quantiques hors résonance
H. Oukraou, V. Coda et G. Montemezzani
- P93** Stabilisation et réduction de la largeur de raie d'un laser accordable autour de 1,55 μm avec une cavité en anneau fibrée et référencée.
P. Grüning, A. Chaouche-Ramdane, M.W. Lee, V. Roncin, F. Du-Burck, S. Trebaol et P. Besnard
- P94** Analyse, par la méthode S2 avancée, du couplage de mode dans une fibre bi-mode soumise à une contrainte localisée.
C. Castineiras
- P95** Conception d'un photorécepteur cohérent pré-amplifié réalisé en filière PIC INP pour les applications à 100- 400 Gbit/s
G. Santini, C. Caillaud et M. Achouche
- P96** Génération d'un supercontinuum visible et plat dans une fibre à cristaux photoniques fortement dopée en GeO₂
D. Aydin, T. North, C.-S. Brès, A. Monteville, D. Landais, O. Legoffic et D. Méchin
- P97** Etude théorique de la propagation optique simultanée de données et d'une pompe de forte puissance pour une liaison tout-optique de 10 km adaptée à des observatoires de fond de mer
R. Hamié, E. Dimitriadou, L. Ghisa, V. Quintard, M. Guegan, A. Perennou, M. Fadlallah et A. Hamié
- P98** Génération et manipulation d'états multi-photon sur puce hybride
P. Vergyris, T. Meany, T. Lunghi, J. Downes, M. Steel, M. Withford, O. Alibart et S. Tanzilli
- P99** Source à régénération cascadée en régime similariton
T. North et C.-S. Brès
- P100** Vers une source de paires de photons aux longueurs d'onde télécom en fibre à coeur liquide
M. Cordier, A. Orioux, R. Gabet, E. Diamanti, I. Zaquine, T. Harlé, N. Dubreuil et P. Delaye
- P101** Auto-référencement d'un peigne de Kerr par interférométrie f- 2f
A. Coillet, P. Del'Haye, T. Fortier, K. Beha, D. Cole, K.Y. Yang, H. Lee, K. Vahala, S. Papp et S. Diddams
- P102** Nouveaux 'front end' tout fibrés du LULI2000
L. Meignien
- P103** Interférométrie adaptative pour la réalisation d'un capteur à fibre optique multimode de grande sensibilité
A. Peigné, U. Bortolozzo, S. Residori, S. Molin, D. Dolfi et J.-P. Huignard
- P104** Mesure de la rétrodiffusion dans une cavité résonante en fibre creuse pour la gyrométrie
A. Ravaille, G. Feugnet, F. Bretenaker, F. Benabid et G. Humbert

- P105** Control of light in multimode fiber amplifiers - a theoretical model for evaluating the gain-dependent transmission matrix
T. Sperber, S. Gigan, N. Treps et P. Sebbah
- P106** Une méthode de compensation hétérodyne pour le transfert de pureté spectrale
O. Sahni, A.J. Walsh, L. Barry, V. Panapakkam, S. Trebaol et P. Besnard
- P107** Détermination de la distribution radiale des pertes dans une fibre optique
C. Sabatier
- P108** Microring SOI en cavité laser fibrée pour la génération de trains d'impulsion ultra-rapides
M. Meisterhans
- P109** Ridge électro-optique LiNbO₃ réalisé par scie circulaire de précision
A. Caspar, G. Ulliac, M. Suarez, M. Häyrynen, M. Roussey, C. Calero, W. Qiu, M. Kuittinen, M.-P. Bernal et N. Courjal
- P110** Sélection modale par réseau de Bragg dans un amplificateur à fibre multimode dopée Nd³⁺
B. Leconte, B. Cadier, H. Gilles, T. Robin et M. Laroche
- P111** Caractérisation en bruit d'un amplificateur Brillouin large bande
W. Wei, S. Fresnel, O. Sahni, S. Trebaol, L. Yi, Y. Jaou"en et P. Besnard
- P112** Seed Laser diode in pulsed operation: limitations and reliability investigations
G. Le Galès, G. Marcello, S. Joly, G. Pedroza, A. Morisset, F. Laruelle et L. Bechou
- P113** High energy thulium chirped pulse amplifier in all-fiber format
D. Gaponov, L. Lavoute, J.-T. Gomes, P. Cadroas, S. Février, A. Hideur et N. Ducros
- P114** Ultrafast amplifier timing jitter and drift characterization
A. Casanova, Q. D'Acromont, G. Santarelli, S. Dilhaire et A. Courjaud
- P115** Réseaux de guides couplés en Silicium
J.M. Moison, C. Minot, X. Leroux, L. Vivien et N. Belabas
- P116** Segmentation dans des guides et reseaux de guides InP en arete
C. Minot, J.-M. Moison, E. Cambriil, S. Guilet et N. Belabas
- P117** Modélisation et caractérisation d'un laser à modes verrouillés fibré pour la génération très haute fréquence
V. Auroux, A. Fernandez et O. Llopis
- P118** Highly efficient nonlinear waveguides in LiNbO₃ fabricated by a combination of Soft Proton Exchange (SPE) and Ebeam writing.
M. Neradovskiy, D. Chezganov, L. Gimadeeva, E. Vlasov, V. Kvashnin, E. Kolchina, A. Akhmatkhanov, M. Chuvakova, D. Alikin, H. Tronche, F. Dautre, P. Baldi, V. Shur et M. De Micheli

- P119** Stabilisation de doubleurs de fréquence à fibre optique périodiquement polée
L. Lablonde, Y. Hernandez, S. Guillemet et C. Corbari
- P120** Fibres optiques multimatériaux a coeur vitrocéramique par le procédé powder in tube
D. Pomarede, J.L. Auguste, G. Humbert, S. Chenu, G. Delaizir, J.-R. Duclere, M. Allix, C. Genevois, E. Veron, P. Roy, P. Thomas et G. Matzen
- P121** Plasmonique nonlinéaire intégrée: modes asymétriques et transitions spatiales dans les guides nonlinéaires à fente
M. Elsayy et G. Renversez
- P122** Etude de la largeur de raie d'un laser à boîte quantique InAs/InP soumis à une force de rappel optique
H. Huang, K. Schires, P. Poole et F. Grillot
- P123** Dispersion engineering on silicon-germanium-on-silicon ridge waveguides for mid-infrared supercontinuum generation
M. Sinobad, D. Allieux, M. Calvo, R. Orobtchouk, J.-M. Fedeli, S. Boutami, C. Monat, A. Mitchell et C. Grillet
- P124** Fibre optique à maintien de polarisation fonctionnalisée avec une matrice vitreuse par l'exploitation de la technologie 'Poudre'
M. Kudinova, G. Humbert, J.-L. Auguste et G. Delaizir

JNPO : Journées Nationales de Photonique Organique

- P125** Effet thermique dans les μ -OLED en régime impulsionnel
L. Zeng, A. Chime, M. Chakaroun, M. Lee, A. Fischer, H. Nkwawo et A. Boudrioua
- P126** Amélioration et extinction de l'électroluminescence des OLEDs par des nanoparticules plasmoniques d'argent aléatoirement évaporées dans l'hétéro-structure organique
A.T. Diallo, S. Khadir, M. Chakaroun, A. Fischer et A. Boudrioua
- P127** Utilisation de la diffusion de seconde harmonique pour sonder l'organisation interne de nanoparticules organiques a base de chromophores dipolaires
J. Daniel, F. Bondu, F. Adamietz, M. Blanchard-Desce et V. Rodriguez

Rencontres Pédagogiques

- P128** Avantage de l'expérience de polarisation dans l'enseignement des propriétés d'onde de la lumière
K. Nguyen Hoang Dang
- P129** Apprentissage par projet : réalisation d'un vibromètre laser à effet Doppler
C. Lapre, C. Eustache, M. Party, T. Daugey et F. Devaux
- P130** L'Optique et la lumière dans l'enseignement des Télécommunications
J.-C. Pissondes

- P131** Dispositif pédagogique d'holographie numérique avec un modulateur spatial de phase
M. Jacquot, M. Asmad Vergara, P. Sandoz, F. Courvoisier, R. Giust, L. Froelhy et J. Dudley
- P132** Arc en ciel chaotique
L. Larger, M. Jacquot, Y.K. Chembo et J.M. Dudley
- P133** Lightbox: le kit pédagogique
R. Dubessy, L. Longchambon et C. Daussy
- P134** Le MOOC : la Physique, vivez l'expérience !!
S. Chénais, S. Forget et C. Daussy

Horizons de l'Optique

- P135** Nanogravure douce induite par la composante magnétique du champ lumineux
T. Yatsui, T. Tsuboi, M. Yamagushi, K. Nobusada, S. Tojo, F. Stehlin, O. Soppera et D. Bloch
- P136** Moment cinétique non conventionnel de la lumière dans un faisceau Gaussien convergent
R. Mathevet et G. Rikken
- P137** Luminescence excitonique de nanoparticules de ZnO synthétisées par voies supercritiques: comparaison avec l'émission d'un cristal
V. Jubera, E. Ilin, S. Marre, M. Dumergue, P. Martin et C. Aymonier
- P138** Détection d'un signal temporel fantôme unique par multiplexage spatial de la mesure
F. Devaux, P.-A. Moreau, S. Denis et E. Lantz
- P139** Transformée de Fourier fractionnaire optique en temps réel
C. Schnebelin et H. Guillet De Chatelus
- P140** Integration of high coherence high power broadly tunable single frequency semiconductor lasers for NIR & MIR applications
B. Chomet, L. Ferrières, V. Lecocq, M. Myara, G. Beaudoin, I. Sagnes, L. Cerutti, S. Denet et A. Garnache
- P141** Génération d'impulsions attosecondes portant du moment orbital angulaire
R. Généaux, C. Chappuis, A. Camper, O. Gobert, T. Auguste et T. Ruchon
- P142** Imagerie fantôme temporelle avec grandissement par projection d'ombre
P. Ryczkowski, M. Barbier, A. Friberg, J. Dudley et G. Genty
- P143** Experimental Evidence of Plasmonic Superradiance
P. Fauché, M. Comesana-Hermo, S. Ravaine, R. Vallée, P. Tamarat et B. Lounis

- P144** Super-résolution par imagerie de phase quantitative
P. Bon, S. Leveque-Fort, J. Wenger, B. Lounis et L. Cognet
- P145** Breaking the acoustic diffraction limit in photoacoustic imaging with multiple-speckle illumination
T. Chaigne, J. Gateau, M. Allain, O. Katz, S. Gigan, A. Sentenac et E. Bossy
- P146** Oscillateur Paramétrique Optique continu simplement résonant à 1.6 μ m à largeur de raie ultrafine
F. Bretenaker, C. Siour et A. Ly
- P147** Développement d'un procédé de micro-usinage laser pour le recyclage des optiques en silice du Laser Megajoule.
T. Doualle, L. Gallais, S. Monneret, P. Cormont, S. Bouillet, A. Bourgeade, C. Ameil et L. Lamaignère
- P148** Filtres optiques interférentiels complexes
T. Begou, F. Lemarchand, M. Lequime et J. Lumeau
- P149** Micro-spectromètre compact, à haute résolution spectrale, intégrée sur détecteur: premier spectre
T. Diard, F. De La Barrière, Y. Ferrec, N. Guérineau, S. Rommeluère, G. Martinet E. Le Coarer
- P150** Imagerie de phase quantitative appliquée à l'analyse de l'interaction laser matière dans les matériaux et composants optiques
L. Gallais et S. Monneret
- P151** Transparent bioceramics for bioactivity and medical applications
M. Prakasam, J. Locset A. Largeteau
- P152** Etude comparative de vibromètres pour la détection de vibrations ultrasonores
C. M. Goloni, O. Jacquin, V. Girardeau, E. Lacot, O. Hugon et G. Temporão
- P153** Imagerie sans lentille appliquée au diagnostic anatomopathologique
S. Morel, L. Hervé, T. Bordy, O. Cioni, A. Delon, C. Fromentin, J.-M. Dinten et C. Allier
- P154** Optomagnets generation in metallic structures by spin-orbit coupling between photon and free electrons in structured fields.
Y. Lefrier, U. Fischer et T. Grosjean
- P155** Laser-induced correlative SHG and fluorescence in a silver-containing phosphate glass under a train of femtosecond Laser Pulses
E. Smetanina, B. Chimier, Y. Petit, T. Cardinal, L. Canioni et G. Duchateau

- P156** Corrélations entre les figures de speckle transmises et réfléchies par un milieu fortement diffusant
N. Fayard, A. Goetschy, P. Réfregier, R. Pierrat et R. Carminati
- P157** Développement d'un microscope polarimétrique de Mueller à balayage laser utilisant une swept source
A. Le Gratiet, M. Dubreuil, S. Rivet et Y. Le Grand
- P158** Plasmonique de nanocubes Au par microscopie de photoémission d'électrons, excitation sélective par action de la polarisation
S. Mitiche, S. Marguet et L. Douillard
- P159** Manipulation optique de quanta de flux uniques
W. Magrini, I. Veshchunov, S. Mironov, A. Godin, J.-B. Trebbia, A. Buzdin, P. Tamarat et B. Lounis
- P160** Inscription de guides d'onde par irradiation laser femtoseconde dans des verres de phosphate de Zinc à l'argent
A. Abou Khalil, J.-P. Bérubé, J.-C. Desmoulin, T. Cardinal, Y. Petit, R. Vallée et L. Canioni
- P161** Imagerie pompe-sonde ultrarapide avec ligne à délai acousto-optique
X. Audier, N. Balla et H. Rigneault
- P162** Réponse impulsionnelle et inférence bayésienne pour la calibration de pinces optiques via la lumière rétrodiffusée
F. Gillant, K. Perronet, J. Moreau, M. Richly, A. Alexandrou et N. Westbrook
- P163** Nanoantennes plasmoniques non linéaires: de la génération de porteurs chauds au rôle de la cristallinité
R. Méjard, S. Viarbitskaya, O. Demichel, A. Bouhelier et B. Cluzel
- P164** Modal expansions of Maxwell equations and their application to optics and optomechanics
J. Burgin et M. Perrin
- P165** Matrice d'interféromètres de Mirau micro-fabriqués comme composant d'un système OCT plein-champ multicanaux
N. Passilly, S. Perrin, L. Froehly, S. Bargiel, O. Gaiffe, J. Lullin, J. Albero et C. Gorecki
- P166** Généraliser les modèles de polarisabilité aux particules diélectriques
A. Devilez, R. Colom, B. Stout et N. Bonod

- P167** Apport de l'optique non-linéaire à l'imagerie infrarouge pour la détection de cibles à longue distance
R. Demur, A. Grisard, L. Morvan, E. Lallier, N. Treps et C. Fabre
- P168** Génération de second et de troisième harmonique d'oxydes nanométriques en suspension
J. Riporto, Y. Mugnier, C. Galez, L. Bonacina et R. Le Dantec
- P169** Light Sheet Microscopy for live imaging of compartmented cell systems
G. Recher, D. Strehle, K. Alessandri, M. Feyeux, B. Gurchenkov et P. Nassouf
- P170** Single-shot imaging through scattering layers via bispectrum analysis of speckle
T. Wu, O. Katz et S. Gigan
- P171** Etude des propriétés optiques de nanoluminophores obtenus par différentes voies de synthèse.
B. Mutelet, A. Garcia, Y. Petit et L. Canioni
- P172** Microscopie topographique diffractive temps-réel
J. Bailleul, B. Simon, M. Debailleul et O. Haeberlé
- P173** Superfluid light flow in a photorefractive crystal
M. Garsj, M. Bellec et C. Michel
- P174** Génération Multifréquence par photomélangage avec une tension alternative
F.L. Constantin
- P175** Fluorescence of semiconductor nanocrystals coupled to optical Tamm cavities
F. Feng, W. Daney De Marcillac, X. Lafosse, S. Portalupi, M. Nasilowski, D. Dubertret, J.-M. Frigerio, C. Schwob, A. Maître, P. Senellart et L. Coolen
- P176** Nouvelle méthode de détermination d'indice de matériaux en couches minces
M. Lequime, D. Stojcevski, S. Nadj, C. Koc, C. Grèzes-Besset et J. Lumeau
- P177** Imagerie de modes de cristaux photoniques par génération de troisième harmonique
X. Chécoury, Y. Zeng, I. Roland, Z. Han, M. ElKurdi, S. Sauvage, B. Gayral, C. B. Rimont, T. Guillet, F. Semond et P. Boucaud
- P178** Contrôle cohérent de l'absorption dans les milieux désordonnés
A. Goetschy, S. M. Popoff, S. F. Liew, S. W. Sheehan, C. Schmuttenmaer, Y. Bromberg, A. D. Stone et H. Cao

- P179** Propriétés optiques des auto-assemblages moléculaires sur graphène
S. Le Liepvre, L. Douillard, C. Fiorini, F. Charra, A.-J. Attias et P. Du

Club Nanophotonique

- P180** Microlentilles Basées sur la Diffraction par des Nano Objets Métalliques et Organiques
O. Ziane, S. Zaiba, A. Tellal et P. Baldeck
- P181** Quenching, Plasmonic, and Radiative Decays in Nanogap-based Antennas
R. Faggiani, J. Yang et P. Lalanne
- P182** Coupling of quasi-normal modes
K. Cognée, F. Koenderink et P. Lalanne
- P183** Photoémission stimulée par des Plasmons de surface de réseaux et de nanoparticules métalliques : Expérience et Modélisation
H. Jouin, M. Raynaud, G. Duchateau, G. Geoffroy, N. Fedorov et P. Martin
- P184** Couplage entre des émetteurs et des nanofils en argent pour réaliser le transfert d'énergie de fluorescence à grande distance au moyen de plasmons de surface
J. De Torres, P. Ferrand, G. Colas Des Francs et J. Wenger
- P185** Vibrations Acoustiques de Nanoparticules Bipyramidales: Vers des Nano-balances Multicritères
J. Burgin, B. Dacosta Fernandes, P. Langot, J. Oberlé, P. Massé, M. Tréguer-Delapierre, N. Vilar Vidal et S. Ravaine
- P186** Plasmon excitation of thin metallic films by a light emitted from an STMtip
M. Achlan et G. Raseev
- P187** Investigation sur les Procédés d'Usinage par Jet-Photonique en Bout de Fibres Optiques Façonnées
G. Chabrol, J. Zelgowski, P. Twardowski, Y. Takakura, P. Pfeiffer, J. Fontaine et S. Lecler
- P188** Optical response of arrays of Au hemispheres on transparent substrates
M. Kildemo, A. Baron, J. Banon, T. Brakstad et I. Simonsen
- P189** Dynamique électronique et transfert d'électron photo-induit dans des nanoparticules hybrides Ag-ZnO
J. Oberlé, J. Burgin, B. Dacosta Fernandes, P. Langot, J.-P. Delville, I. Shupyk et M.-H. Delville
- P190** Plasmonique de surface opalique: une approche combinée champ proche et champ lointain
A. Maître, C. Lethiec, G. Binard, T. Popescu, H. Frederich, P. Ngoc Hong, E. Yraola, C. Schwob, F. Charra, L. Coolen et L. Douillard
- P191** Méthodes de type élément fini pour la nanophotonique computationnelle
S. Lanteri, C. Scheid et J. Viquerat

COLOQ'15 : Colloque sur les Lasers et l'Optique Quantique

- P192** Application de l'intrication spatiale à l'imagerie fantôme temporelle
S. Denis, P.-A. Moreau, F. Devaux et E. Lantz
- P193** Générateur de fonctions optiques à 80GHz
J. Fatome, K. Hammani, B. Kibler et C. Finot
- P194** Façonnage optique intra-cavité dans un laser impulsionnel à fibre
S. Boscolo, J. Peng et C. Finot
- P195** Oscillateur Paramétrique Optique continu simplement résonant à 1.6 μm à largeur de raie ultrafine
F. Bretenaker, C. Siour et A. Ly
- P196** Laser picoseconde à fibre Yb à taux de répétition continûment accordable entre 11 et 18 GHz
A. Aubourg, J. Lhermite, S. Hocquet, E. Cormier et G. Santarelli
- P197** Vers une observation de l'absorption par un atome de l'émission thermique en champ proche
J.C. De Aquino Carvalho, A. Laliotis, P. Chaves De Souza Segundo, I. Maurin, M. Ducloy et D. Bloch
- P198** Contribution sub-Doppler en rétrofluorescence pour une vapeur atomique optiquement épaisse
J.C. De Aquino Carvalho, A. Laliotis, M. Chevrollier, M. Oria et D. Bloch
- P199** Generation and parametric amplification of broadband phase stabilized few cycle pulses at 2.9 μm
G. Archipovaite, S. Petit, J.C. Delagnes et E. Cormier
- P200** Métrologie et étude des processus d'endommagement laser en régime sub-picoseconde dans les couches minces optiques
L. Gallais
- P201** Oscillateur opto-RF chaotique verrouillé en fréquence
A. Thorette, M. Romanelli, M. Brunel et M. Vallet
- P202** Architectures de liens optiques pour les futurs réseaux métrologiques
A. Bercy, N. Quintin, W.-K. Lee, F. Stefani, C. Chardonnet, G. Santarelli, O. Lopez, P.-E. Pottie et A. Amy-Klein
- P203** Caractérisation des phases non-linéaires et des couplages spatio-temporels des amplificateurs à dérive de fréquence par la méthode D-Scan
A. Volte, J.C. Delagnes, S. Petit et E. Cormier
- P204** Etats comprimés à une longueur d'onde télécom, une approche entièrement guidée
B. Fedrici, F. Kaiser, A. Zavatta, V. D'auria et S. Tanzilli

- P205** Double asservissement Pound-Drever-Hall sur un interféromètre de Michelson à fibre
F. Audo, J.-P. Coulon et F. Kéfélian
- P206** Laser à état solide bi-fréquence autorégulé en bruit d'intensité
K. Audo, A. El Amili et M. Alouini
- P207** Développement d'un amplificateur à 946 nm à base de fibre cristalline Nd:YAG pompée directement dans le niveau émetteur
R. Baudoïn, J.-T. Gomes, X. Délen, I. Martial, F. Balembois et P. Georges
- P208** Démonstration du piégeage cohérent d'atomes de césium avec un VECSEL bifréquence et bipolarisé
P. Dumont, S. Janicot, F. Tricot, D. Holleville, S. Guérandel, G. Baili, L. Morvan, D. Dolfi, G. Beaudoin, I. Sagnes, P. Georges et G. Lucas-Leclin
- P209** Un peigne de fréquences ultrastable et accordable pour la spectroscopie moyen-IR à très haute résolution
R. Santagata, B. Argence, D.B.A. Tran, O. Lopez, A. Goncharov, S. Tokunaga, D. Nicolodi, M. Abgrall, R. Le Targat, P.-E. Pottie, C. Chardonnet, C. Daussy, Y. Le Coq, B. Darqui'e et A. Amy-Klein
- P210** Caractérisation des Pertes Optiques dans une Cavité Fabry-Perot Micrométrique de Grande Finesse
R. Metzdorff, L. Neuhaus, S. Zerkani, S. Chua, T. Jacqmin, S. Del'eglise, T. Briant, A. Heidmann et P.-F. Cohadon
- P211** Diffraction d'atomes d'Argon métastables lents sur nanoréseaux
F. Correia, N. Fabre, F. Perales, J. Baudon, M. Ducloy et G. Dutier
- P212** Génération de paires de photons intriqués aux longueurs d'ondes des télécoms
F. Mazeas, W. Zhang, M. Traetta, M. Bentivegna, F. Kaiser, D. Aktas, C.A. Ramos, L.A. Ngah, T. Lunghi, X. Le Roux, E. Cassan, D. Marris-Morini, L. Vivien, L. Labonté et S. Tanzilli
- P213** Direct optical interfacing of CVD diamond for deformed NV- based sensing experiments
L. Mayer et T. Debuisschert
- P214** Inégalités généralisées de spin squeezing avec des observables collectives arbitraires et des fluctuations du nombre de particules
I. Saïdeh, S. Felicetti, P. Milman, T. Coudreau et A. Keller
- P215** Fluctuations d'intensité de nanolasers à semi-conducteur couplés
M. Marconi, P. Hamel, A. Levenson et A. Yacomotti
- P216** Transfert de stabilité au moyen d'une cavité
A. Chaouche-Ramdane, P. Gruning, V. Roncin et F. Du-Burck
- P217** Caractérisation Spectrale de l'Emission de Paires de Photons dans une Fibre à Coeur Liquide
T. Harlé, M. Barbier, I. Zaquine et P. Delaye

- P218** Electrical Conductivity Measurements For Failure Analysis Of Laser Crystals Under High Pump Power Density
W. Bolanos, S. Joly, I. Manek-Hönniger, J.C. Delagnes, E. Cormier, L. Bechou et Y. Deshayes
- P219** Distribution de clés quantiques multi-utilisateurs avec une source semi-conductrice
C. Autebert, J. Trapateau, A. Orioux, A. Lemaître, C. Gomez-Carbonnel, E. Diamanti, I. Zaquine et S. Ducci
- P220** Interférométrie atomique en cavité pour l'étude de perturbation du champ gravitationnel à basse fréquence
G. Lefèvre, L. Amand, A. Bertoldi, B. Canuel, B. Fang, R. Geiger, D. Holleville, A. Landragin, N. Mielec, S. Pelisson, I. Riou et P. Bouyer
- P221** Neodymium MOPA fiber laser for strontium atom cooling
S. Rota-Rodrigo, B. Canuel, A. Bertoldi, P. Bouyer, N. Traynor et G. Santarelli
- P222** Discriminer une Variation de Me/Mp à 1.5 μm
F.L. Constantin
- P223** Génération d'oscillations micro-ondes sur porteuse optique dans un système de cavités couplées
A. Armaroli, P. Féron et Y. Dumeige
- P224** Etude et réalisation d'une chaîne laser compacte adaptée à l'allumage d'une chambre de combustion
G. Amiard-Hudebine, G. Tison et E. Freysz
- P225** Contrôle de la durée de vie des photons d'une microcavité par effet de lumière lente
V. Huët, A. Rasoloniaina, P. Guillemé, P. Rochard, P. Féron, M. Mortier, A. Levenson, K. Bencheikh, A. Yacomotti et Y. Dumeige
- P226** Ecoulements optofluidiques pilotés par chauffage laser
D. Riviere, H. Chraïbi, U. Delabre et J.-P. Delville
- P227** Single-pass quantum source of multimode squeezed states
L. La Volpe, S. De, V. Thiel, V. Parigi, C. Fabre et N. Treps
- P228** Trois lasers asservis en phase pour des processus multi-photoniques cohérents
M. Collombon, R. Khayatzaeh, M.R. Kamsap, G. Hagel, O. Morizot, J. Pedregosa-Gutierrez, M. Houssin, C. Champenois et M. Knoop
- P229** Influence des effets thermiques sur l'efficacité de génération de seconde harmonique à 488 nm d'un laser Yb fibré monomode, monofréquence à bas bruit
R. Dubrasquet, J. Boullet, N. Traynor, J.C. Delagnes et E. Cormier
- P230** LG-2DMOT, jet d'atomes froids canalisés et ses applications
A. Chopinaud, C. Cabrera-Gutierrez, J. Ruauadel, M. Jacquy, B. Viaris De Lesegno et L. Pruvost
- P231** Déformation conique induite par laser
A. Giro, R. Pascalie, J. Petit, H. Chraïbi, U. Delabre et J.-P. Delville

- P232** Etude d'un pointeur laser à photons jumeaux
C. Autebert, Y. Halioua, G. Maltese, A. Lemaître, C. Gomez-Carbonnel, M. Amanti, C. Sirtori et S. Ducci
- P233** Sources laser à 626nm et 313nm pour le refroidissement d'ions Be+
A. Douillet, J. Heinrich, N. Sillitoe, T. Louvradoux, J.-P. Karr et L. Hilico
- P234** Polarization tomography of a resonantly-excited cavity-QED device
P. Hilaire, C. Anton, C. Kessler, J. Demory, N. Somaschi, C. Gomez-Carbonnel, A. Lemaître, I. Sagnes, O. Krebs, D. Lanzillotti Kimura, P. Senellart et L. Lanco
- P235** Seeding of modulation instability in a fiber ring cavity
A. Bendahmane, J. Fatome, C. Finot, G. Millot et B. Kibler
- P236** Génération de trains de photons uniques de forte indiscernabilité à l'état solide
G. Coppola
- P237** Soustraction de photon à partir d'un état de vide comprimé multimode
A. Dufour, C. Jacquard, Y.-S. Ra, C. Fabre, V. Parigi et N. Treps
- P238** Protocole d'informatique quantique avec des atomes froids
R. Romain, K. Krzyzanowska, M. Copley-May, C. Maccormick et S. Bergamini
- P239** Mesure de front d'onde d'impulsion terahertz
M. Brossard, H. Cahyadi, S. Ben Khemis, J. Degert, E. Freysz, T. Yasui et E. Abraham
- P240** Etude théorique des états de Rydberg de l'ion HeH+ en utilisant le modèle Halfium
I. Bouhali, S. Bezzaouia, M. Telmini et C. Jungen
- P241** Propagation et Transfert de biphotons dans des réseaux de guides couplés à 3 ou 4 guides
C. Minot, T. Lunghi, O. Alibart, S. Tanzilli et N. Belabas
- P242** Un ralentisseur Zeeman à aimants permanents et autres outils
D. Ben Ali, C. De Rossi, M. De Goer, L. Longchambon, R. Dubessy, T. Badr, A. Perrin et H. Perrin
- P243** Route vers la cohérence de microlasers à semiconducteurs
D. Aktas, T. Wang, O. Alibart, G.L. Lippi, E. Picholle et S. Tanzilli
- P244** Augmenter la brillance des LED avec des concentrateurs luminescents
T. Gallinelli, A. Barbet, A. Paul, C. Blanchard, F. Balembos, J.-P. Blanchot, F. Druon, P. Georges, S. Chenais et S. Forget

Liste des exposants industriels

SOCIÉTÉ	CONTACT(S)
2B LIGHTING TECHNOLOGIES	Tony BARTHELEMY, tbarthelemy@2blighting.com
ACAL BFI FRANCE	Anne ALBERT, anne.albert@acalbfi.com
ALPHANOV	Ludovic LESCEIUX, communication@alphanov.com
AKA OPTICS	Gilles BORSONI, gilles.borsoni@akaoptics.com
BNC FRANCE	Dominique MONNIER-BOURDIN, d.monnierbourdin@bncfrance.com
COHERENT FRANCE	Luc MOOG, luc.moog@coherent.com Jean-Luc TAPIE, jean-luc.tapie@coherent.com
EDP SCIENCES - PHOTONIQUES	Nathalie MATELOT, nathalie.matelot@edpsciences.org Stéphanie MOUZAWAK, stephanie.mouzawak@edpsciences.org
FEMTO EASY	Antoine DUBROUIL, dubrouil@femtoeasy.eu
HAMAMATSU PHOTONICS FRANCE	Anne LLORENS, allorems@hamamatsu.fr
IMAGINE OPTIC	Aurélie ANNOSCIA, aannoscia@imagine-optic.com
IXBLUE	Valérie FERREIRA, valerie.ferreira@ixblue.com
KEOPSYS	Mélanie LESEIGNOUX, mlesegnoux@keopsys.com
LAPHIA / UNIVERSITÉ BORDEAUX	Lionel CANIONI, Lionel.Canioni@u-bordeaux.fr
LASER 2000	Rémy CARRASSET, photonique@laser2000.fr
LASER COMPONENTS	Audrey LE LAY, a.lelay@lasercomponents.fr José BRETES, j.bretes@lasercomponents.fr
LEUKOS	Karine WECK, contactus@leukos-systems.com
MICRO - CONTROLE SPECTRA-PHYSICS	Gilles BOIVIN, gilles.boivin@newport.com
NeTHIS	Jean Pascal CAUMES, jean-pascal.caumes@nethis-thz.com
NKT PHOTONICS GMBH	Thomas FERHAT, thf@nktphotonics.com
NOVAE	Nicolas DUCROS, n.ducros@novae-laser.com
OPHIR SPIRICON EUROPE GMBH	Nicolas CHAISE, nicolas.chaise@eu.ophiropt.com
OPTON LASER INTERNATIONAL	Laurence DUCHARD, laurence.duchard@optonlaser.com
OPTOPRIM	François BECK, fbeck@optoprim.com
OXXIUS	Noël-Arnaud MAGUIS, namaguis@oxxius.com
PHOTON LINES	Agnès ROBERT, info@photonlines.com
PI FRANCE	Nicolas COLLET, n.collet@pi.ws
PICs4All	Kevin SCHIRES, schires@enst.fr
R&D VISION	Sylvain PINEAU, sylvain.pineau@rd-vision.com
ROUTE DES LASERS	Hervé FLOCH, h.floch@routedelasers.com
THORLABS	Assaad BAZ, ABaz@thorlabs.com Quentin BOLLET, qbollee@thorlabs.com
TRIOPTICS	Gwendal GIRARD-SUARD, gwendal.girard@trioptics.fr
WAVETEL	Cyril COATRIEUX, ccoatrieux@wavetel.fr Arnaud BOUT, about@wavetel.fr
YENISTA	Etienne DECERLE, etienne.decerle@yenista.com
ZURICH INSTRUMENTS AG	Eva JAKUBCANINOVA, evaj@zhinst.com

Comité scientifique commun

Président : Philippe Lalanne (LP2N)

Président adjoint : Lionel Canioni (CELIA)

Société Française d'Optique

Président : Benoît BOULANGER (Institut Néel, Grenoble)

Président sortant : Jean-Jacques AUBERT (CEA LETI, Grenoble)

Président entrant : Pascale Nouchi (Thales R&T, Palaiseau)

COLOQ : Ariel LEVENSON (Laboratoire de Photonique et de Nanostructures, Marcoussis)

Sébastien TANZILLI (Lab. Physique de la Matière Condensée, Nice Sophia Antipolis)

Horizons de l'Optique : Céline FIORINI (CEA, Saclay)

Sébastien FORGET (CEA, Saclay)

JNOG : Henri Bénisty (IOGS, Palaiseau)

JRIOA : Vincent MICHAU (ONERA, Palaiseau)

Samuel BUCOURT (Imagine Optic, Orsay)

JNOP : Azzedine BOUDRIA (Laboratoire de Physique des Lasers, Villetaneuse)

Vincent RODRIGUEZ (ISM, Bordeaux)

Nanophotonique : Riad HAIDAR (ONERA, Palaiseau)

PAMO/JSM : Olivier DULIEU (LAC, Orsay)

Isabelle KLEINER (LISA, Universités Paris-Diderot et Paris Est et Créteil)

Rencontres pédagogiques :

Philippe ARGUEL (Laboratoire d'analyse et d'architecture des systèmes, Toulouse)

Saïda GUELLATI (Laboratoire Kastler-Brossel, Paris)

Session industrielle : Costel SUBRAN (OPTONLASER, Orsay)

Comité d'organisation local

CEA

Emmanuel Hugonnot

LP2N

Pierre Bon, Philippe Lalanne, Giorgio Santarelli, Jean-Baptiste Trebbia (coord. Expo industrielle), Kevin Vynck

LOMA

Emmanuel Abraham, Jean-Pierre Delville, Eric Freysz, Jean Oberlé, Fabio Pistolesi

CELIA

Philippe Balcou, Valérie Blanchet, Fabrice Catoire, Lionel Canioni, Baptiste Fabre, Yann Mairesse,

ISM

Marc Dussauze, Pascal Larregaray, Vincent Rodriguez, Thierry Stoecklin

IMS

Laurent Béchou, Jean-Paul Guillet

CRPP

Alexandre Baron

Student Chapter OSA/SPIE

Quentin D'Acremont

SFO

Rania Haidar, Catherine Herce, Mariam Mellot.

Soutiens

Sponsors Nationaux



Sponsors Industriels



Sponsors Laboratoires



Sponsors Locaux



Sponsors Académiques



Notes



OPTIQUE Bordeaux 2016
Congrès de la SFO
4–7 juillet 2016



<http://www.sfoptique.org/pages/congres-optique/bordeaux-2016/>